

トポロジカル ソリトンによる ダイナミカルなブレーンワールドの構成

2018年8月8日

素粒子物理学の進展 2018

於 京都大学 基礎物理学研究所

衛藤 稔 (山形大学)

共同研究者

新井 真人 (山形大学)

Filip Blaschke (Silesian University, Czech)

坂井 典佑 (慶應大学)

PTEP 2018, no.06, 063B02

arXiv: 1802.06649 (in press by PTEP)

0. はじめに

標準模型には何故ヒッグス場が必要なのか？

ゲージ対称性 \rightarrow \times ゲージ場・クォーク・レプトンの質量項

ヒッグス場は電弱理論の要:

対称性の自発的破れとヒッグス機構

\downarrow

- ① 光子も0質量に保ちつつ, W^\pm などに質量を与える
- ② クォーク・レプトンに質量を与える

これだけか? \rightarrow 余剰次元では第3の役目が!!

1. イントロダクション

標準模型
の諸問題

← Beyond SM

超対称性
余剰次元
大統一理論
超弦理論
⋮

余剰次元模型

- Kalza-Klein 理論
- Large extra dimensions
- Warped extra dimensions
- Brane world
- Universal extra dimensions
- Gauge Higgs Unification
- ⋮

余剰次元

→
の幾何学的性質

⎧ 大きさ
曲率
位置

⋮

力の統一

場の統一

階層性問題

⋮

$$\text{時空} = \overset{\text{ミンコフスキー}}{\downarrow} M^{3,1} \times X \overset{\uparrow}{\text{余剰次元}}$$

(多くの模型で) Compact $\begin{cases} \text{manifold} & \dots S' \\ \text{orbifold} & \dots S'/\mathbb{Z}_2 \end{cases}$

良くあるセットアップ

- ① 余剰次元は4次元と区別する
- ② ブレーンは手で入れる

$$\mathcal{L}_{\text{full}} = \mathcal{L}_{\text{bulk}} + \mathcal{L}_{\text{brane}} \delta(y - y_0)$$

- ③ ゲージ場や物質場がブレーンに局在している
- ④ ブレーンは安定で崩壊しない
- ⑤ \mathbb{Z}_2 parity などを課す

素朴な疑問

これらの模型のセットアップレベルにおける仮定をせずに、
ブレーンワールドを **ダイナミカル (自発的に)** に実現する
余剰次元模型はあるか？

→ **トポロジカル ソリトン** = ブレーン
(Rubakov - Shaposhnikov '83)

余剰次元の トポロジカル な性質を利用



模型の詳細に依らない!

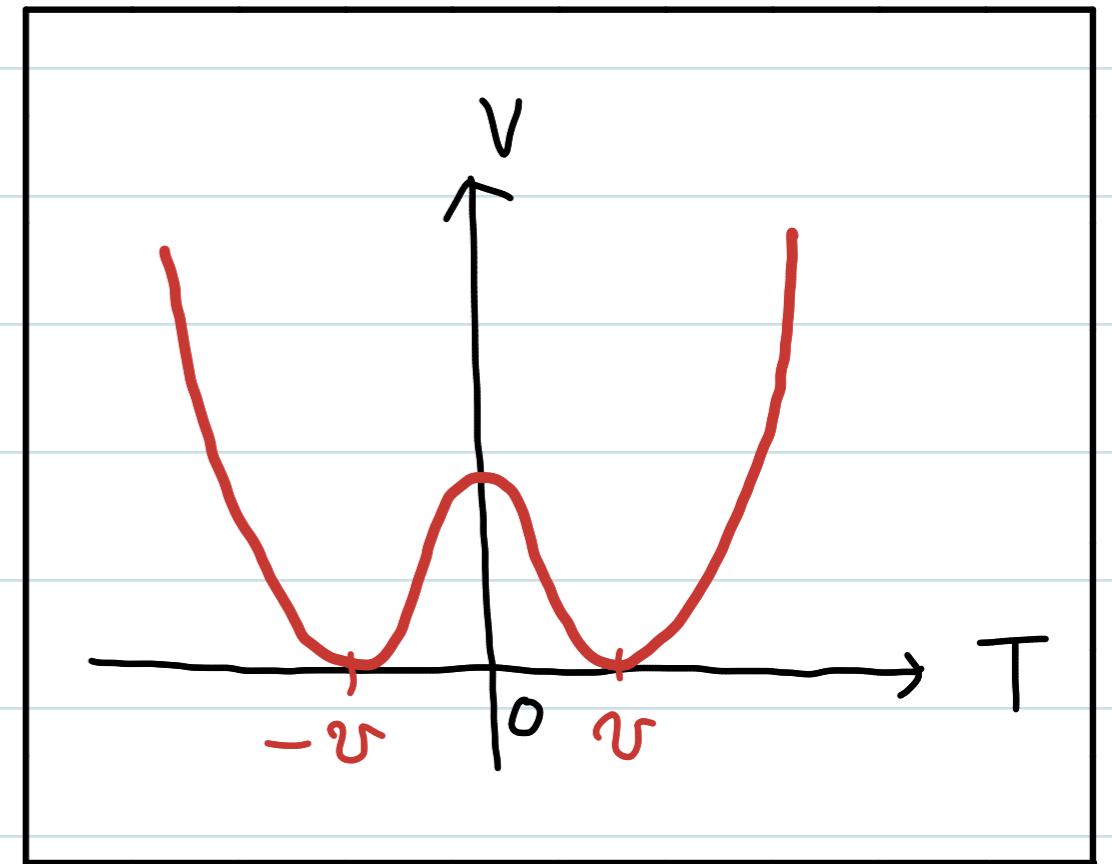
- ★ 対称性の自発的破れ
→ トポロジカル ソリトンの **ダイナミカル** な生成
- ★ トポロジー → { 安定性
物質 (カイラル フェルミオン) の局在

2. トポロジカルソリトン

最も簡単な例)

T : 実スカラー場

$$V = \frac{\lambda}{4} (T^2 - v^2)^2$$



Z_2 対称性: $T \rightarrow -T$

↓ 真空: $T = +v$ or $-v$

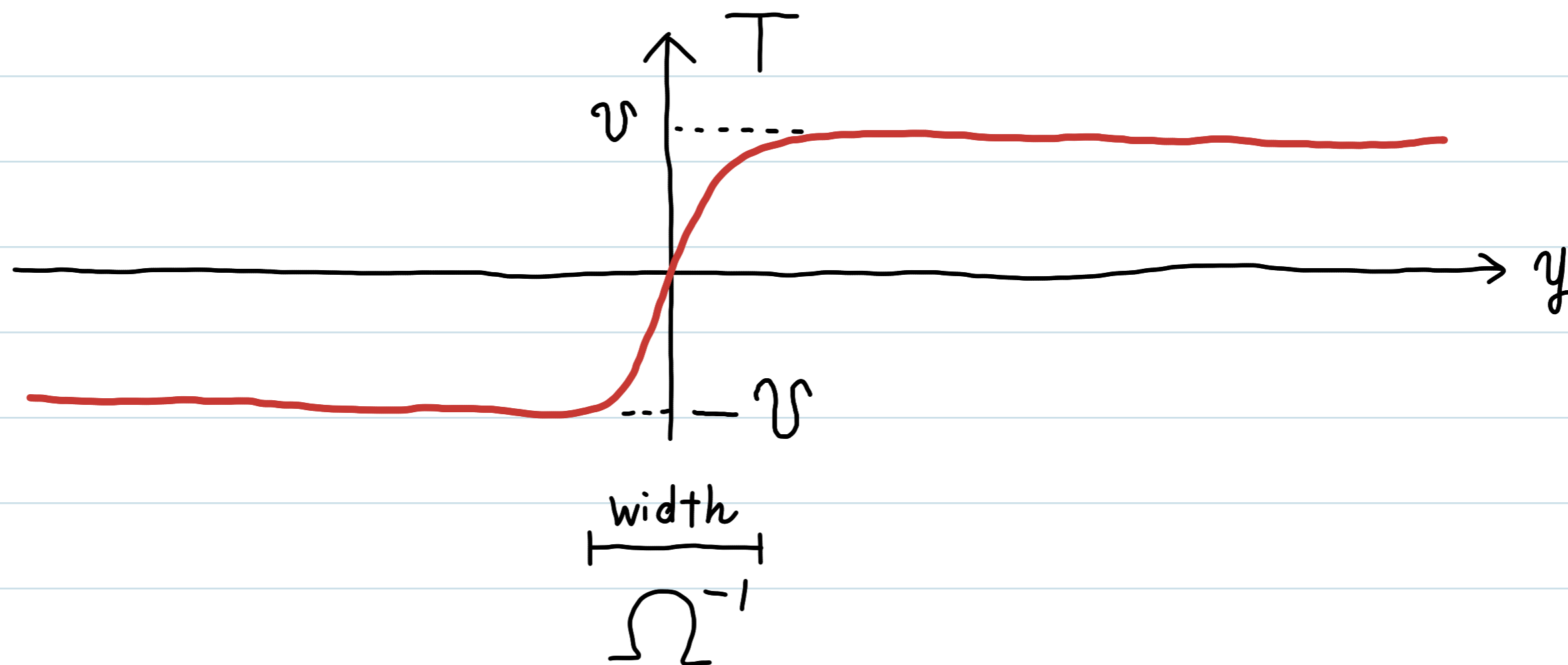
自発的破れ

真空のトポロジー: 非連結な 2 点

$$\pi_0(\text{真空多様体}) = 2 \text{ 点}$$

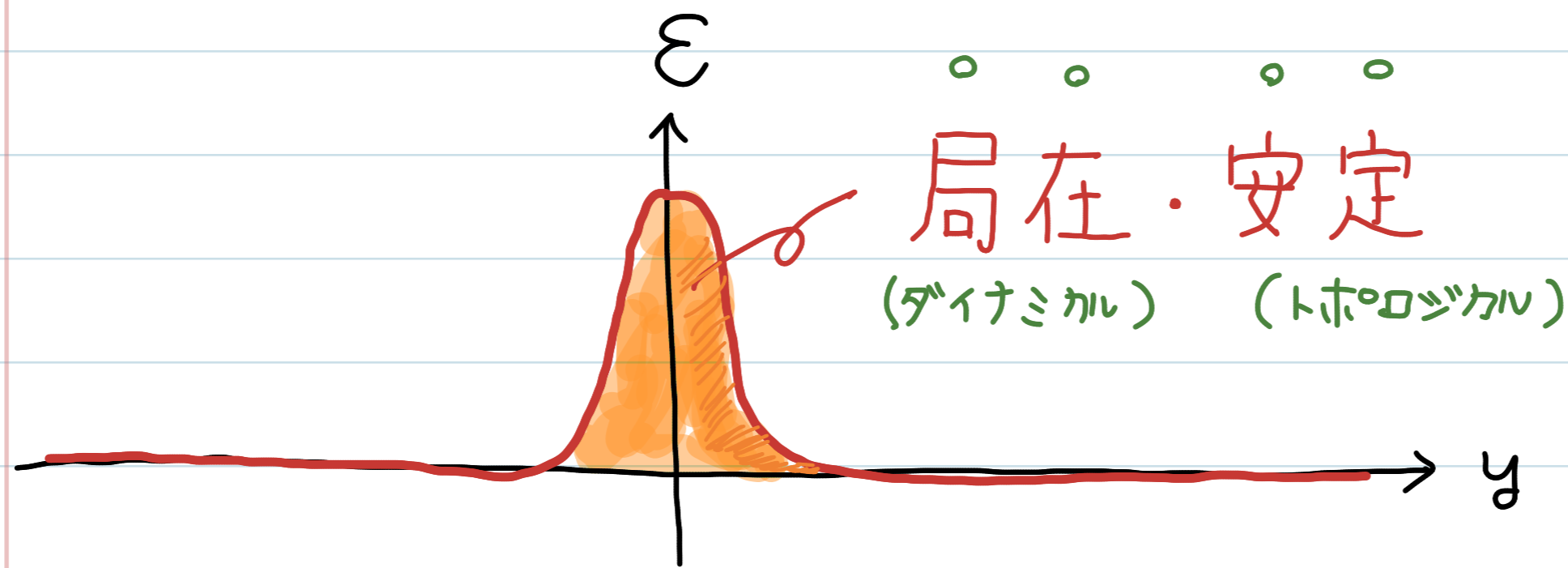
ドメインウォール解

$$T = v \tanh \Omega (y - y_0), \quad \Omega \equiv \frac{\sqrt{\lambda v}}{2}$$

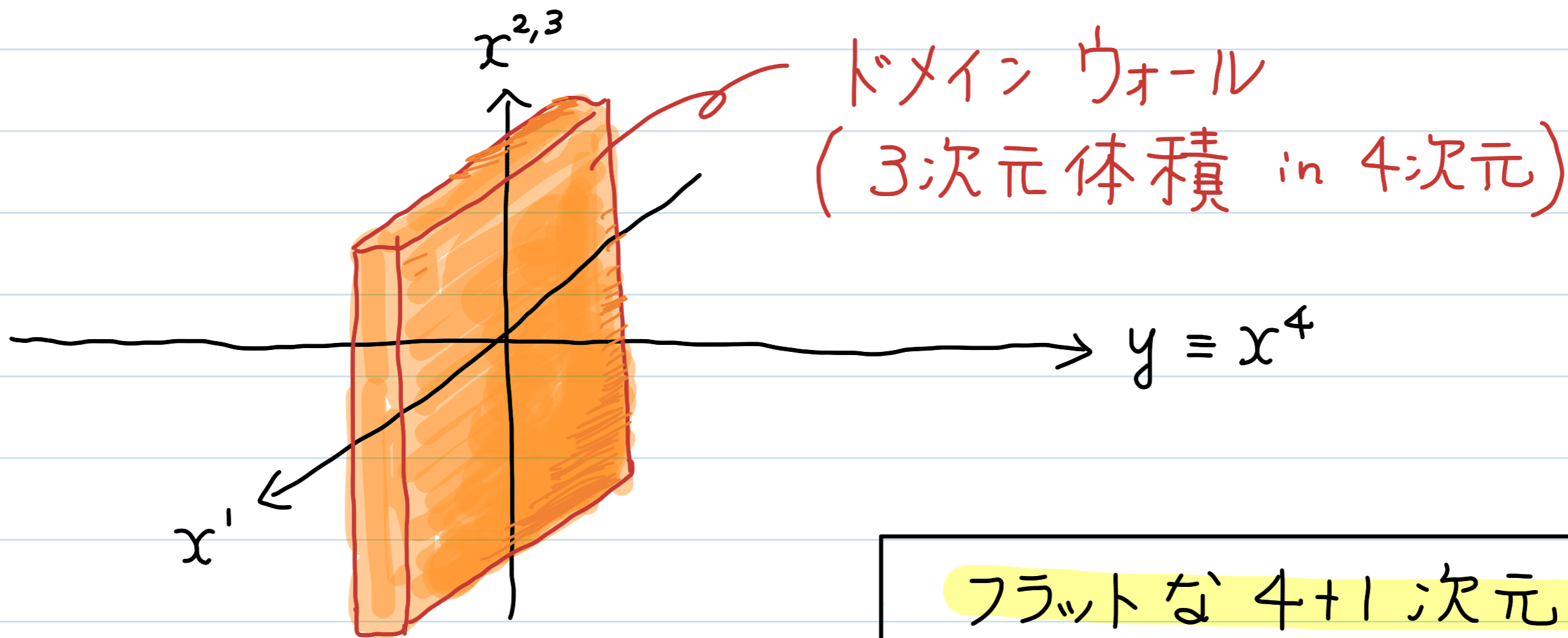


トポロジカルな安定性: $j_{\text{top}}^\mu = \frac{1}{2v} \epsilon^{\mu\nu} \partial_\nu T$

トポロジカルチャージ $Q_{\text{top}} = \int dy j_{\text{top}}^0 = 0, \pm 1$
(±境界条件だけで決まる.)



⇓ 余剰次元



フラットな4+1次元中に
↓ダイナミカル
安定な3ブレーンが生成された

(フェルミオン)
物質場の閉い込め (トポロジカル)

Rubakov - Shaposhnikov PLB '83

フェルミオン 0 モード \rightarrow ドメインウォールへ局在

Jackiw - Rebbi 機構 (PRD '76) を高次元で利用

5D フェルミオン Ψ

$$\mathcal{L} = i \bar{\Psi} \Gamma^M \partial_M \Psi - \eta \uparrow \bar{\Psi} \Psi$$

$$\Gamma^\mu = \gamma^\mu$$

$$\Gamma^4 = i \gamma_5$$

ドメインウォール背景: $T(y) = v \tanh \Omega y$

ディラック方程式: $i \Gamma^M \partial_M \Psi + \eta T(y) \Psi = 0$

カイラリティ (4D) :

$$\left. \begin{aligned} \gamma_5 \Psi_L &= -\Psi_L \\ \gamma_5 \Psi_R &= +\Psi_R \end{aligned} \right\} \Psi = \Psi_L + \Psi_R$$

ディラック方程式の分解:

$$\begin{aligned} Q &\equiv -\partial_y + \eta T \\ Q^\dagger &\equiv \partial_y + \eta T \end{aligned}$$

$$\begin{cases} i \not{\partial} \Psi_L - (\partial_y + \eta T) \Psi_R = 0 \\ i \not{\partial} \Psi_R - (-\partial_y + \eta T) \Psi_L = 0 \end{cases}$$

$$\Leftrightarrow \begin{cases} i \not{\partial} \Psi_L - Q^\dagger \Psi_R = 0 \\ i \not{\partial} \Psi_R - Q \Psi_L = 0 \end{cases}$$

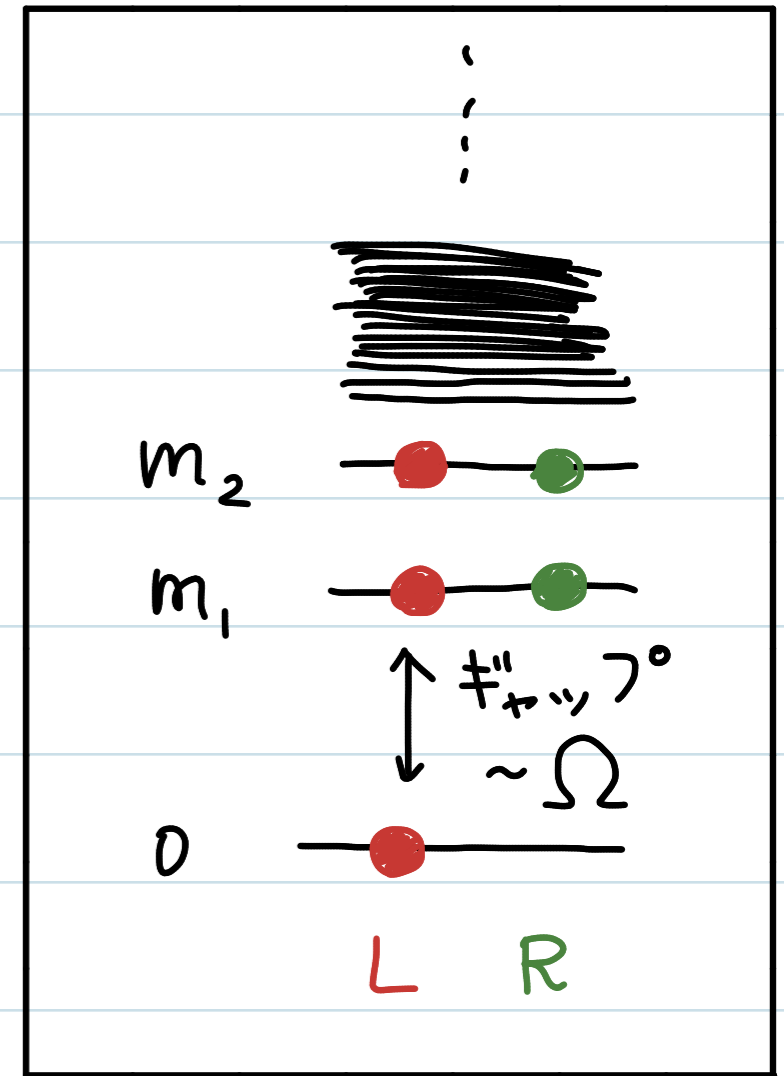
$$\Leftrightarrow \begin{cases} (\square + Q^\dagger Q) \Psi_L = 0 \\ (\square + Q Q^\dagger) \Psi_R = 0 \end{cases}$$

◀ 超対称量子力学 (SQM)

Spectrum

Left : $Q^\dagger Q f_n(y) = m_n^2 f_n(y)$
 \downarrow SQMによる一致

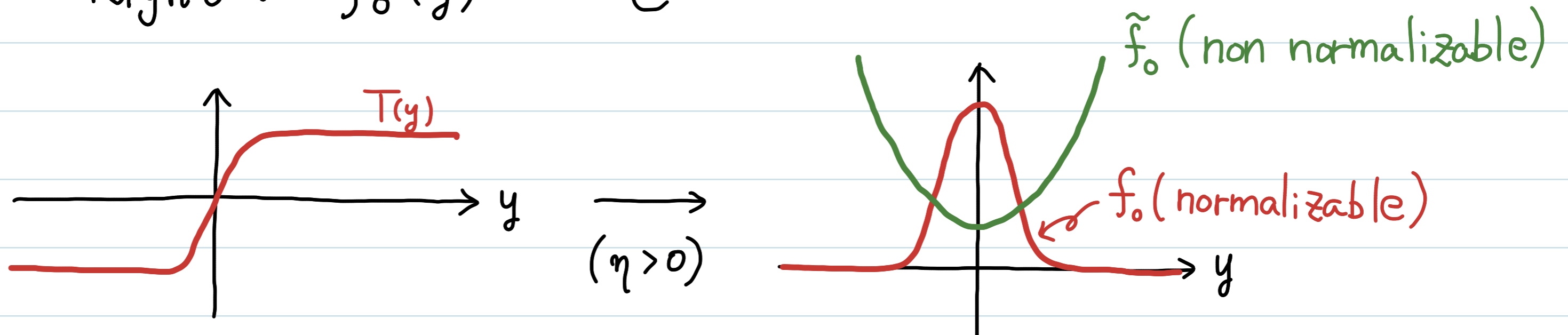
Right : $Q Q^\dagger \tilde{f}_n(y) = m_n^2 \tilde{f}_n(y)$



ゼロモード (背景場 $T(y)$ で決まる)

Left : $f_0(y) = e^{\eta \int^y dy' T(y')}$ \updownarrow inverse

Right : $\tilde{f}_0(y) = e^{-\eta \int^y dy' T(y')}$



カイラル フェルミオン が自動的に局在

質量階層性 [Arkani-Hamed - Schmaltz, PRD '00]
 (湯川結合)

余剰次元の幾何 \longrightarrow 指数関数的に小さな湯川結合

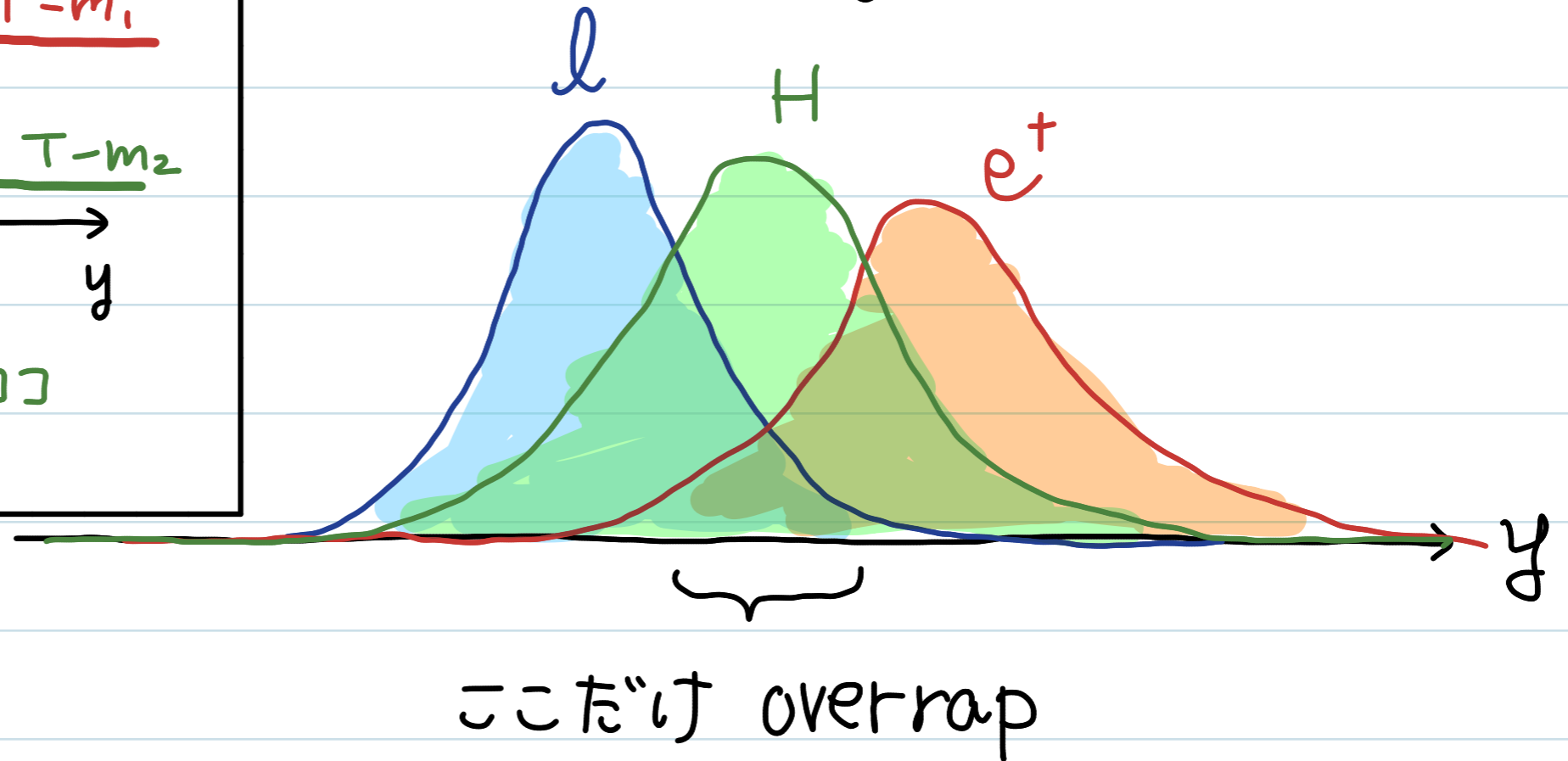
$$L = \eta T \bar{\Psi}_i \Psi_i$$

↓

$$\eta(T - m_i) \bar{\Psi}_i \Psi_i$$

↑

bulk mass



有効結合定数

$$Y_{4D} = Y_{5D} \int dy f_l f_{e^+} f_H$$

余剰次元方向のオーダー1のずれ \longrightarrow 指数関数的に小さい

スカラー場の閉じ込め

ゼロ質量スカラー場：局所的南部・Goldstone 粒子

bulk (真空) のグローバル対称性 G
↓
ソリトン内部でのみ部分群 H に自発的に破れる

いつもの NG:

	Lag	Vac
Sym	G	H

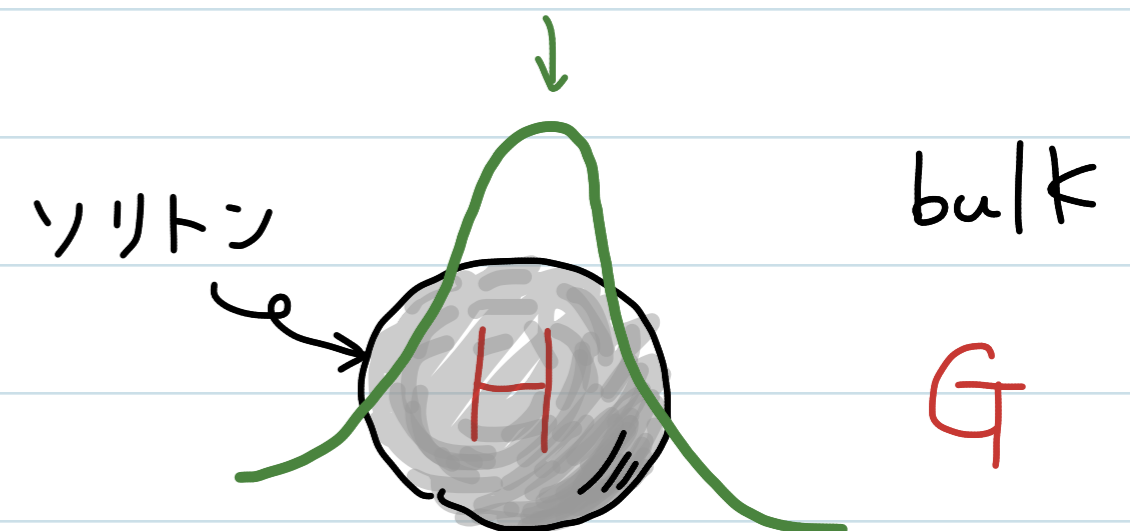
→ 空間に一様に NG (G/H)

ソリトンによる NG

	Lag	Vac	ソリトン
Sym	G	G	H

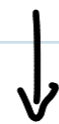
→ ソリトン近傍だけに NG が分布

NG の波動関数

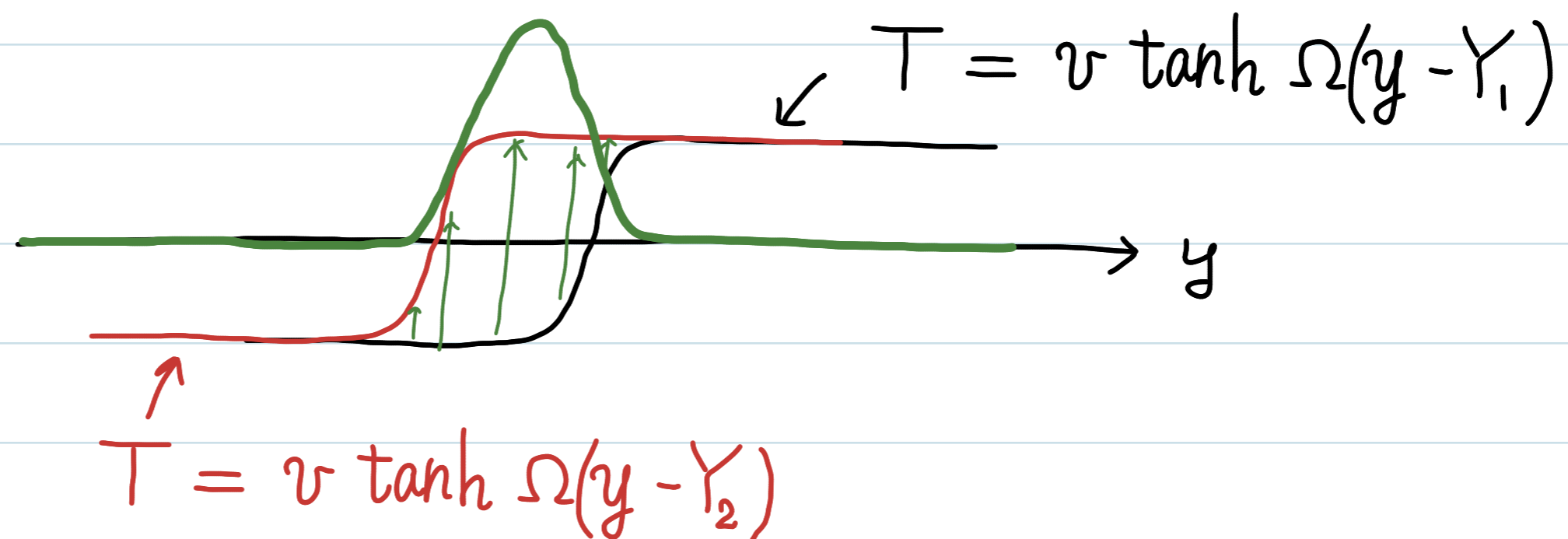


並進対称の破れ

ソリトンが存在すると並進対称性がソリトン上で
局所的に自発的に破れる



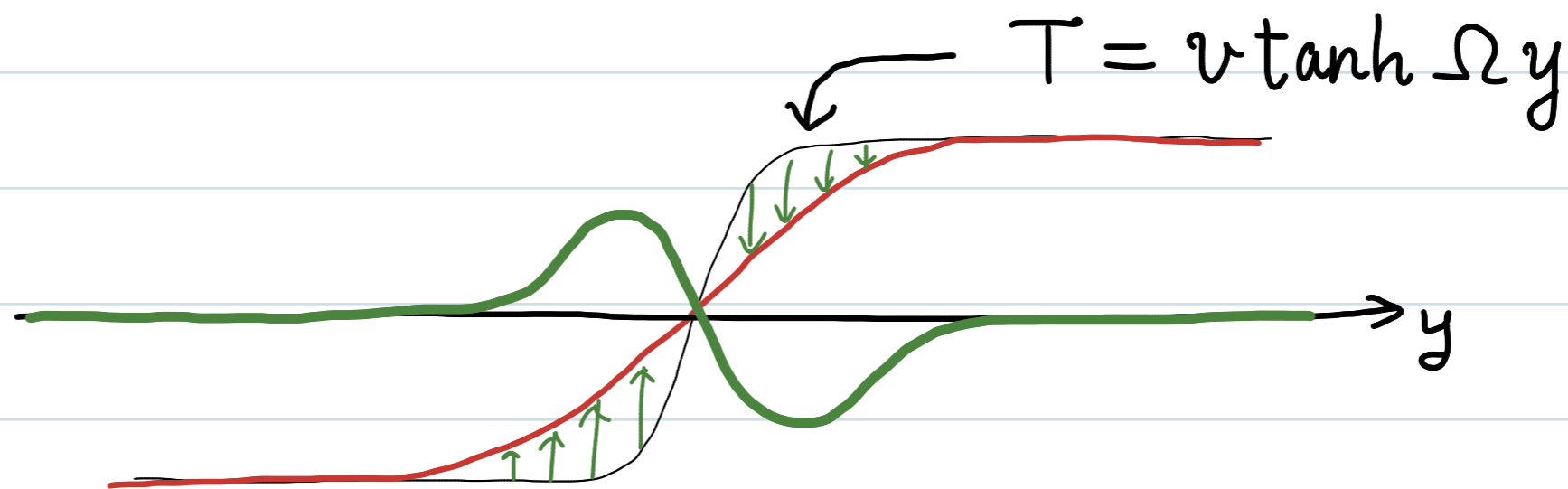
局所的 NG ボソン



massive スカラー場

★ 変型モード (ツイフトモード) : $m^2 \sim \Omega^2$

$$V = \frac{\lambda}{4} (\tau^2 - v^2)^2$$



★ 局所的 スカラー凝縮

$$V(\tau, \phi) = \frac{\lambda}{4} (\tau^2 - v^2)^2 + \frac{\eta}{2} (\tau^2 - v^2) \phi^2 + \frac{\mu^2}{2} \phi^2$$


$$\text{真空} : (\tau, \phi) = (+v, 0), (-v, 0)$$

τ は凝縮

ⓐ 真空

ϕ は凝縮しない

Z_2 の SSB

 $T = v \tanh \tilde{\Omega} y$ $\xrightarrow[\text{DW 内部}]{y=0}$ $T = 0$

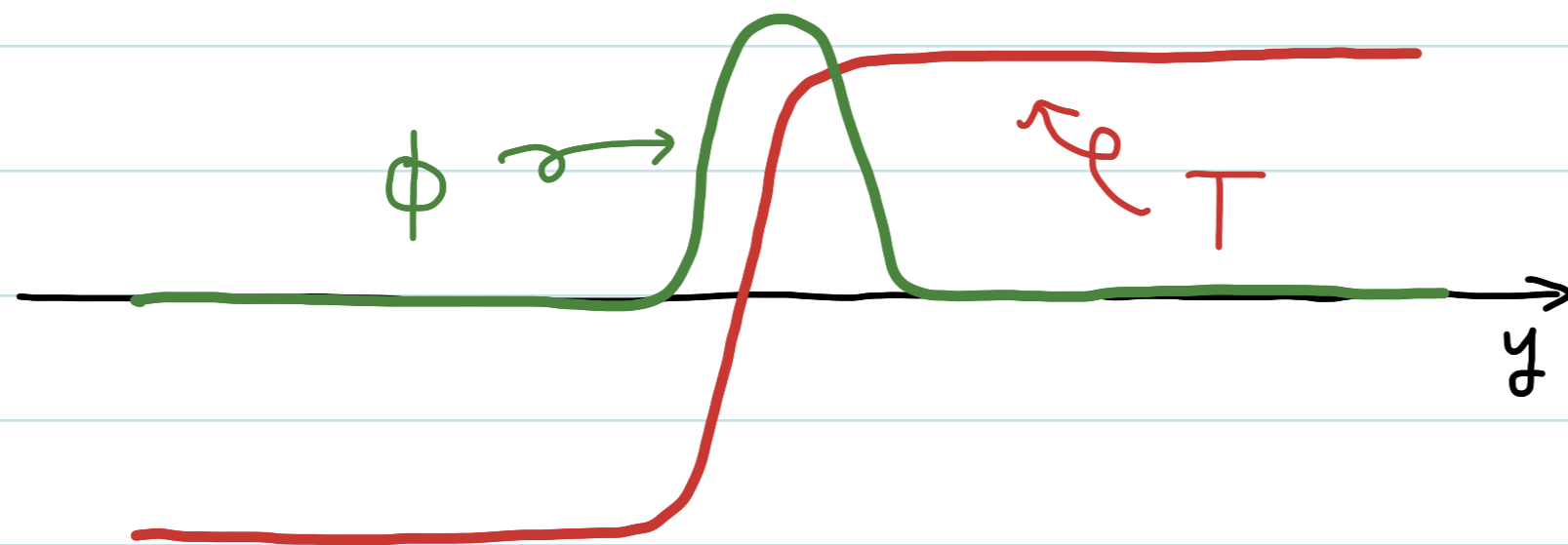
$$V(T, \phi) = \frac{\lambda}{4} (T^2 - v^2)^2 + \frac{\eta}{2} (T^2 - v^2) \phi^2 + \frac{\mu^2}{2} \phi^2$$

↓ DW 内部 ($T = 0$)

$$V(T=0, \phi) = -\frac{1}{2} (\eta v^2 - \mu^2) \phi^2 + \text{const.}$$

(fine tune
は必要なし)

if $\eta v^2 > \mu^2$ なら ϕ は DW 内で "凝縮"
(cf) Witten '85



トポロジカルソリトンは
内部にスカラー凝縮を
誘発する。
massive スカ - \Rightarrow 閉い込め

3. ゲージ場の局在

困難：(非)可換ゲージ場(0質量)の局在

対称性の破れ・トポロジ → 0質量スカラー・フェルミオン

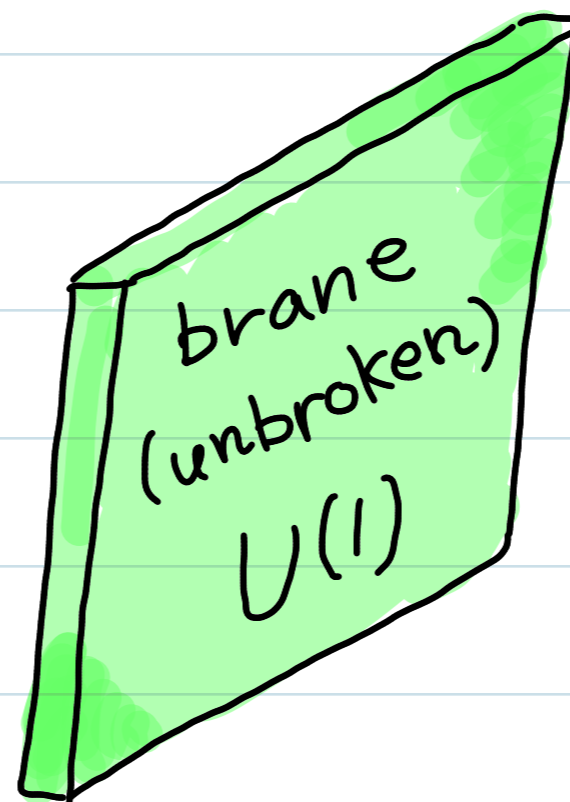
× ↘ 0質量ゲージ場
(ふつうはゲージ対称性)

トポロジカルソリトン ▷ $G^{(gauge)} \rightarrow H @ \text{真空}(bulk)$
例) $U(1) \rightarrow 1$

bulk (broken)

~~U(1)~~

Higgs

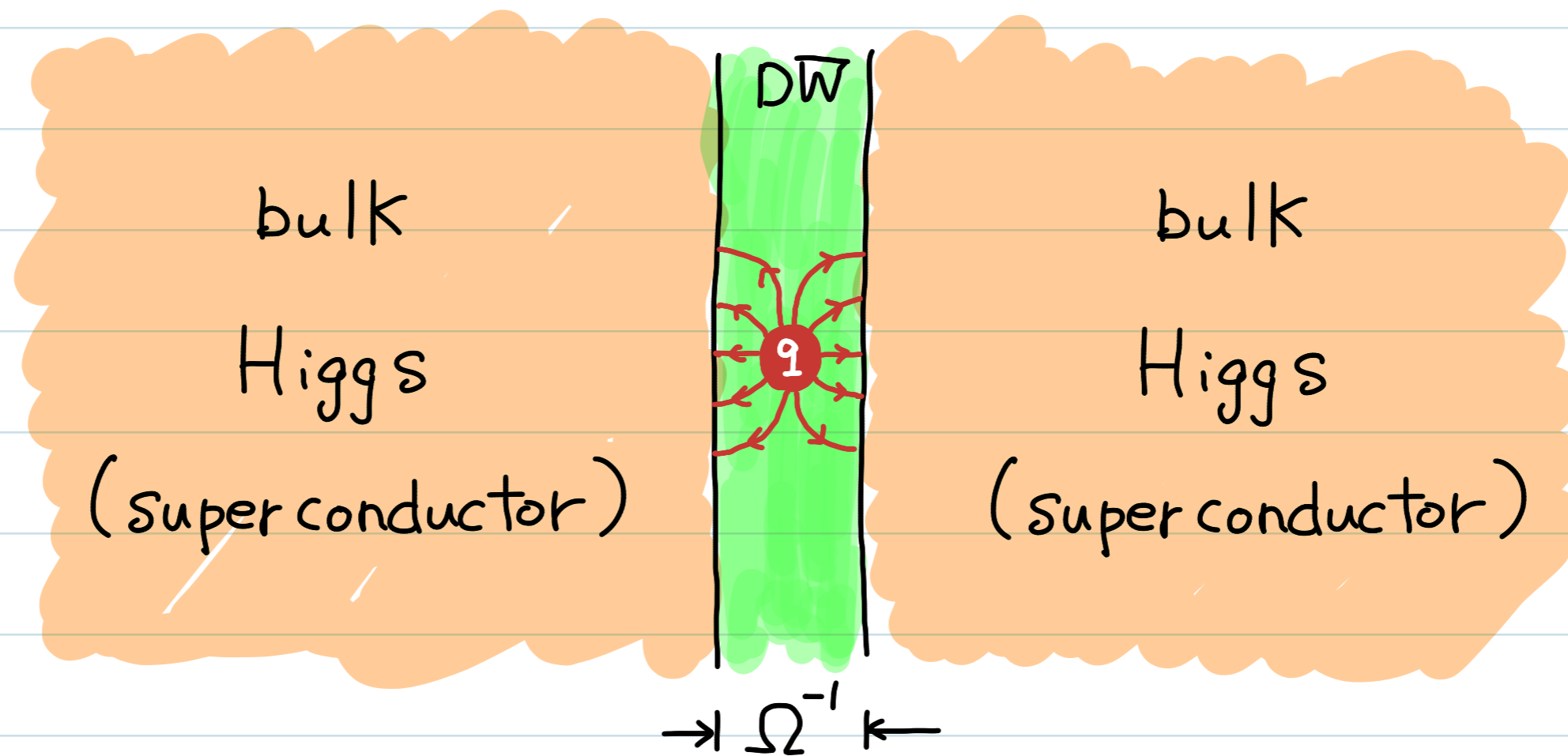


bulk (broken)

~~U(1)~~

Higgs

ドメインウォール中に試験電荷を置く。



遮蔽効果

バルク(導体)に電気力線が吸い込まれる。

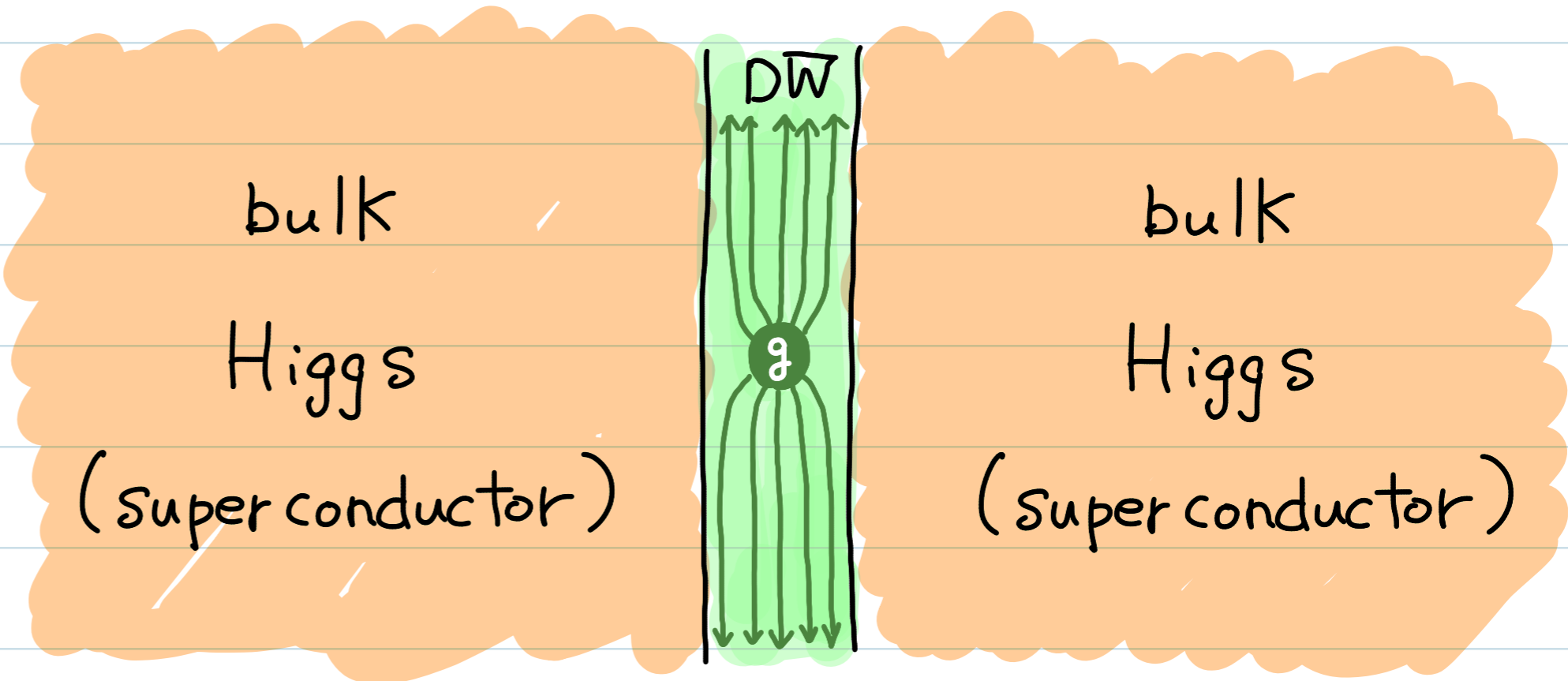
主な困難

ドメインウォール内で $U(1)$ ゲージ対称性が回復していても
トラップされるゲージ場は Ω 程度の質量を持つ。

Dvali - Shifman 機構 (Dvali - Shifman '97)

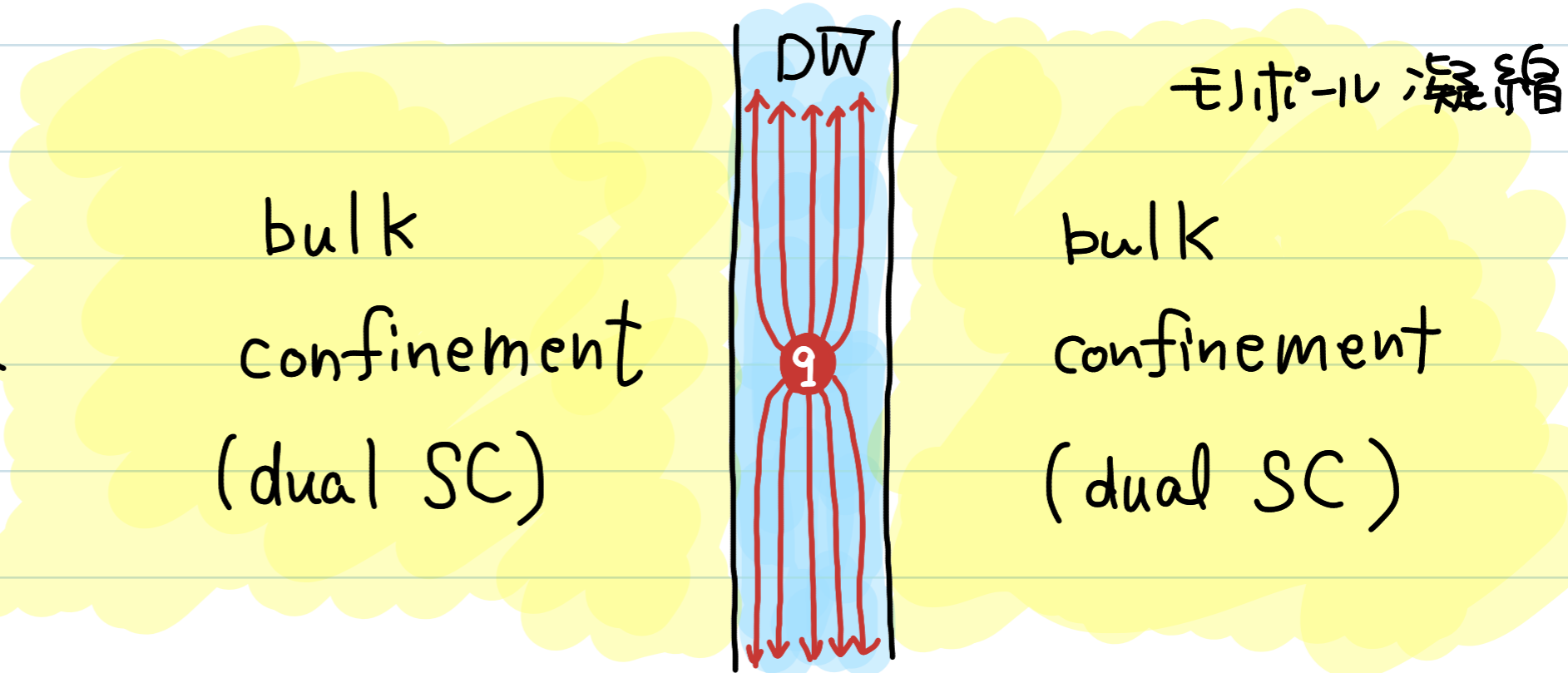
アイテ"了 : bulk を Higgs (SC) \longrightarrow confinement (dual SC)

電荷 \rightarrow 磁荷
 マイスター効果
 \Downarrow
 磁力線の閉じ込め



dual

電荷
 双対マイスター効果
 \Downarrow
 電気力線の閉じ込め



概要: 4D $SU(2)$ Yang-Mills + adjoint $\chi^{a=1,2,3}$
("gluon")

bulk : $SU(2)$ confinement (mass gap)

$$\langle \chi^a \rangle = 0$$

ソリトン内 : $SU(2) \rightarrow U(1)_{EM}$ (Higgs)

$$\langle \chi^3 \rangle \neq 0$$

ポイント1: $U(1)_{EM}$ はどこでも破れない。
→ massless

ポイント2: $U(1)_{EM}$ はバルクでは $SU(2)$ の一部
→ massive

massless $U(1)_{EM}$ はソリトン内に局在

Arkani-Hamed - Dimopoulos - Dvali ('98)

Dvali-Shifman 機構も 6D に移植

しかし、3+1次元より高次元で閉じ込めが起こるか全く分からない。

よくある設定 \longrightarrow Dvali-Shifman 機構が働くことを仮定

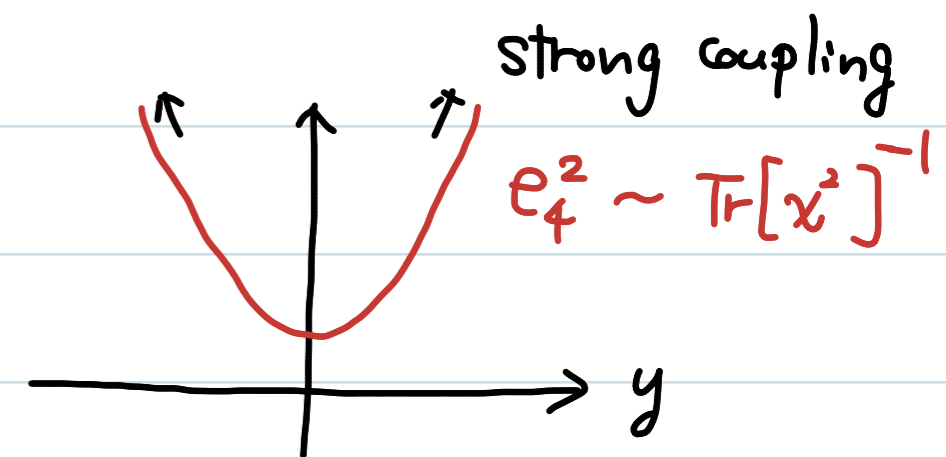
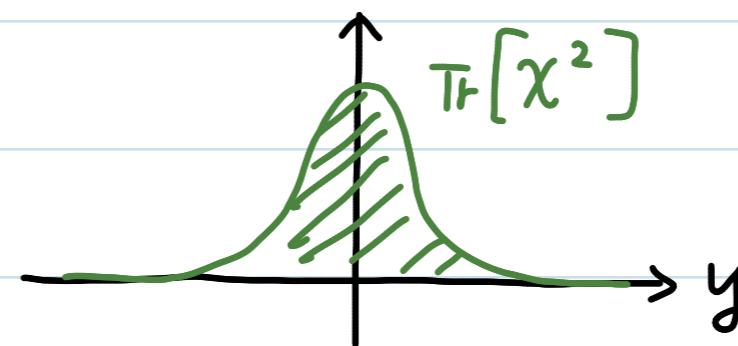
又は \longrightarrow ゲージ場の運動項を変更

$\text{Tr}[\chi^2] \text{Tr}[G_{\mu\nu}G^{\mu\nu}]$ (ADDの論文での具体例)

$= 0$ @ bulk

$\neq 0$ @ DW

局所的なスカラー凝縮



* Scalar condensation : $\int d^d x f(\phi) F_{MN} F^{MN}$

Dubovsky - Rubakov '01

Ohata - Sakai '10, Chumbes - Hoff da Silva - Hott '11

Arai - Blascke - ME - Sakai '12, '13, '17, '18

Okad - Raut - Villalba '17, '18

その他の方法

* 重力 (warp factor) を利用

$$\int d^p x \sqrt{-g} F_{MN} F^{MN}$$

× $D=5$: warp factor $\neq \pm 2$

○ $D=6$: OK by vortex (Oda '00)

* 重力 + dilaton : Kehagias - Tamvakis '01

4. ヒッグス場による非可換ゲージ場の局在化

Arai - Blascke - ME - Sakai arXiv: 1802.06649

(in press by PTEP)

大まかな話しの流れ (これまでのパターン)

(ADD型のストーリー)

set up : $M^{4,1}$ (ノンコンパクト)

↓ \mathbb{Z}_2 対称性の自発的破れ

ドメインウォールの生成
(ダイミカルなコンパクト化)

automatic
↓

SMの局在 {

- カイラル フェルミオン ... Jackiw-Rebbi 機構
- ヒッグス スカラー ... ドメインウォールが誘発
- $SU(3) \times SU(2) \times U(1)$... スカラー凝縮 を利用
(Dvali-Shifman 機構)

必要な場 (これまで)

SMと同じ (ヒッグス, レプトン/クォーク, ゲージ場)

+

extra スカラー場 $\times 2$ for { ドメインウォール 構成
スカラー凝縮 (Dvali-Shifman)

今回 試みた新しい模型

SMと同じ (ヒッグス, レプトン/クォーク, ゲージ場)

どうせ凝縮
するから
兼務させる。

→ スカラー凝縮 (Dvali-Shifman)

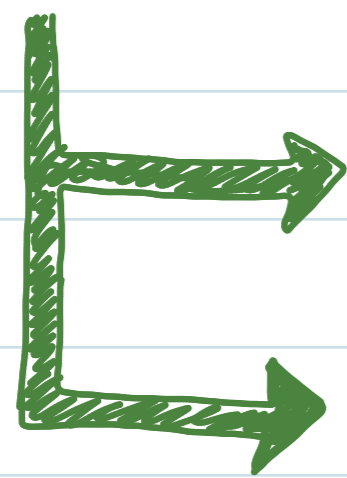
extra スカラー場 $\times 1$ for ドメインウォール 構成

SM 場 + 実スカラー場 1つ in $M^{4,1}$

トリガー: Z_2 対称性の自発的破れ

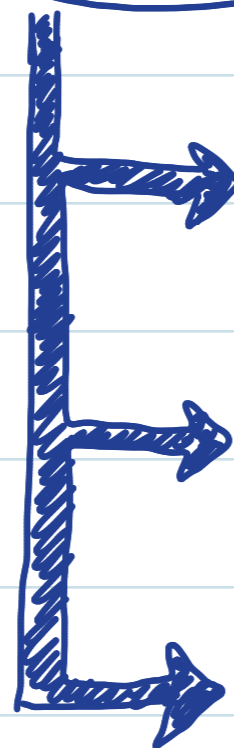


トポロジカルに安定な ブレーンが自発的に形成



カイラル フェルミオンの捕獲

ヒッグス場の凝縮の誘発



EW 対称性の局所的 SSB 破れ
SM ゲージ場 (massless) の捕獲

フェルミオン 質量の生成

従来のヒッグス
のお仕事

ヒッグス場には第3の重要な役割がある!!

トイ模型

U(1) ゲージ理論 (5次元)

$$\mathcal{L}_{5D} = -\frac{|H|^2}{4\mu^2} (\mathcal{F}_{MN})^2 + |D_M H|^2 + (\partial_M T) - V_{5D} \\ + i\bar{\Psi}\Gamma^M D_M \Psi + i\bar{\tilde{\Psi}}\Gamma^M \partial_M \tilde{\Psi}$$

$$\beta^2 \equiv \frac{|H|^2}{4\mu^2}$$

$$+ \eta T \bar{\Psi}\Psi - \tilde{\eta} T \bar{\tilde{\Psi}}\tilde{\Psi} + \chi H \bar{\Psi}\tilde{\Psi} + \chi H^* \bar{\tilde{\Psi}}\Psi$$

(赤: SM ラグランジアンと大きく違うところ)

$$D_M H = (\partial_M + i q_H A_M) H$$

$$D_M \Psi = (\partial_M + i q_f A_M) \Psi$$

Ψ : charged \rightarrow left-hand
 $\tilde{\Psi}$: neutral \rightarrow right-hand

$$\mathcal{F}_{MN} = \partial_M A_N - \partial_N A_M$$

$$[\Omega] = 1$$

$$[v] = \frac{3}{2}$$

$$[\lambda] = -\frac{1}{2}$$

$$[\mu] = 1$$

$$V_{5D} = \Omega^2 |H|^2 + \lambda^2 (T^2 + |H|^2 - v^2)^2$$

\rightarrow

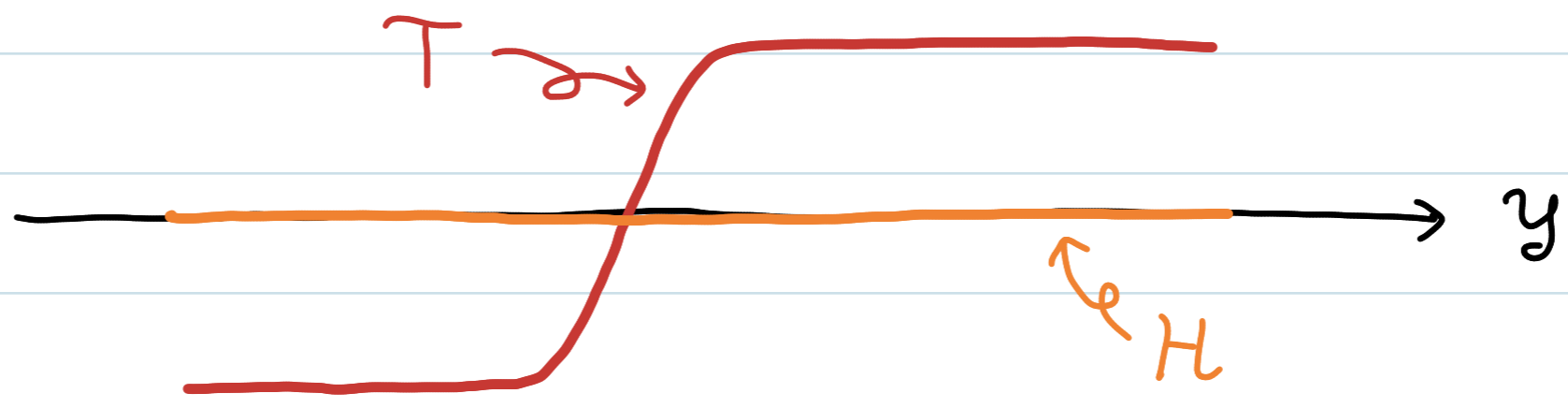
真空

$$T = \pm v \\ H = 0$$

ドメインウォール without ヒッグス凝縮

$$\lambda v \leq \Omega : \quad T = v \tanh \lambda v (y - Y)$$

$$H = 0$$

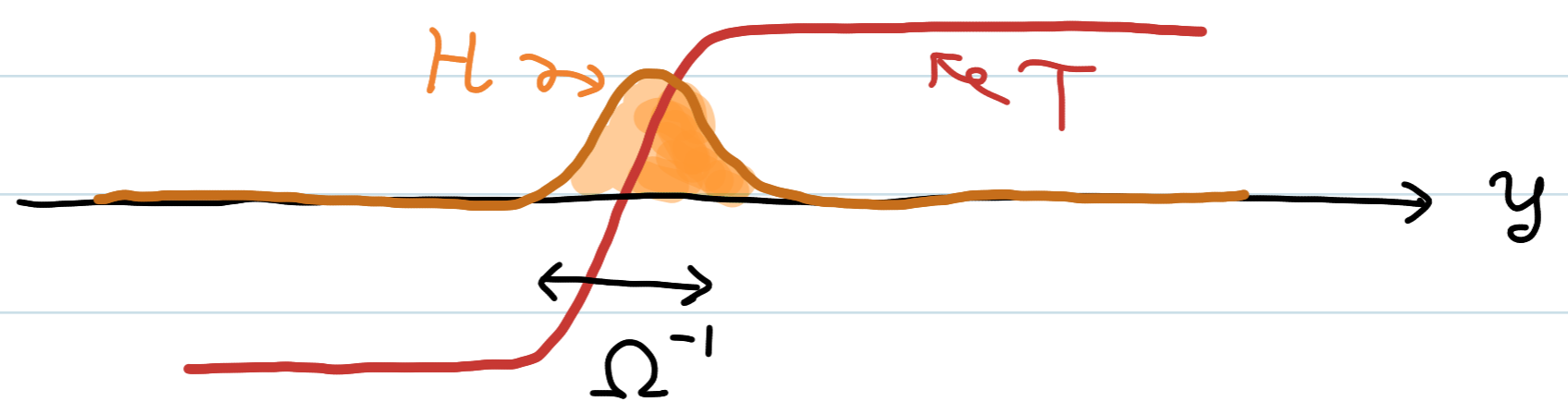


ドメインウォール with ヒッグス凝縮

$$\bar{v}^2 \equiv v^2 - \frac{\Omega^2}{\lambda^2}$$

$$\lambda v > \Omega : \quad T = v \tanh \Omega (y - Y)$$

$$H = \bar{v} \operatorname{sech} \Omega (y - Y)$$



Ω は 5D physics
の基本スケール
 $\Omega \gg E_{EW}$

ドメインウォールによるヒッグスの凝縮

$\lambda v > \Omega$ ($\bar{v}^2 > 0$) のパラメータ領域で安定な解

$$\begin{cases} T = v \tanh \Omega y \\ H = \bar{v} \operatorname{sech} \Omega y \end{cases} \quad \left(\bar{v} = \sqrt{v^2 - \frac{\Omega^2}{\lambda^2}} \right)$$

ヒッグスが凝縮する様子も可視化するために...

代入

$$\begin{cases} T = v \tanh \Omega y \\ H = \sqrt{\frac{\Omega}{2}} \underbrace{H(x^*)}_{\text{4次元有効ヒッグス場}} \operatorname{sech} \Omega y \end{cases}$$

$$\begin{aligned} V_H &= \int_{-\infty}^{\infty} dy V_{5D}(T, H) \\ &= \lambda_2^2 |H|^2 + \frac{\lambda_4^2}{2} |H|^4 \end{aligned}$$

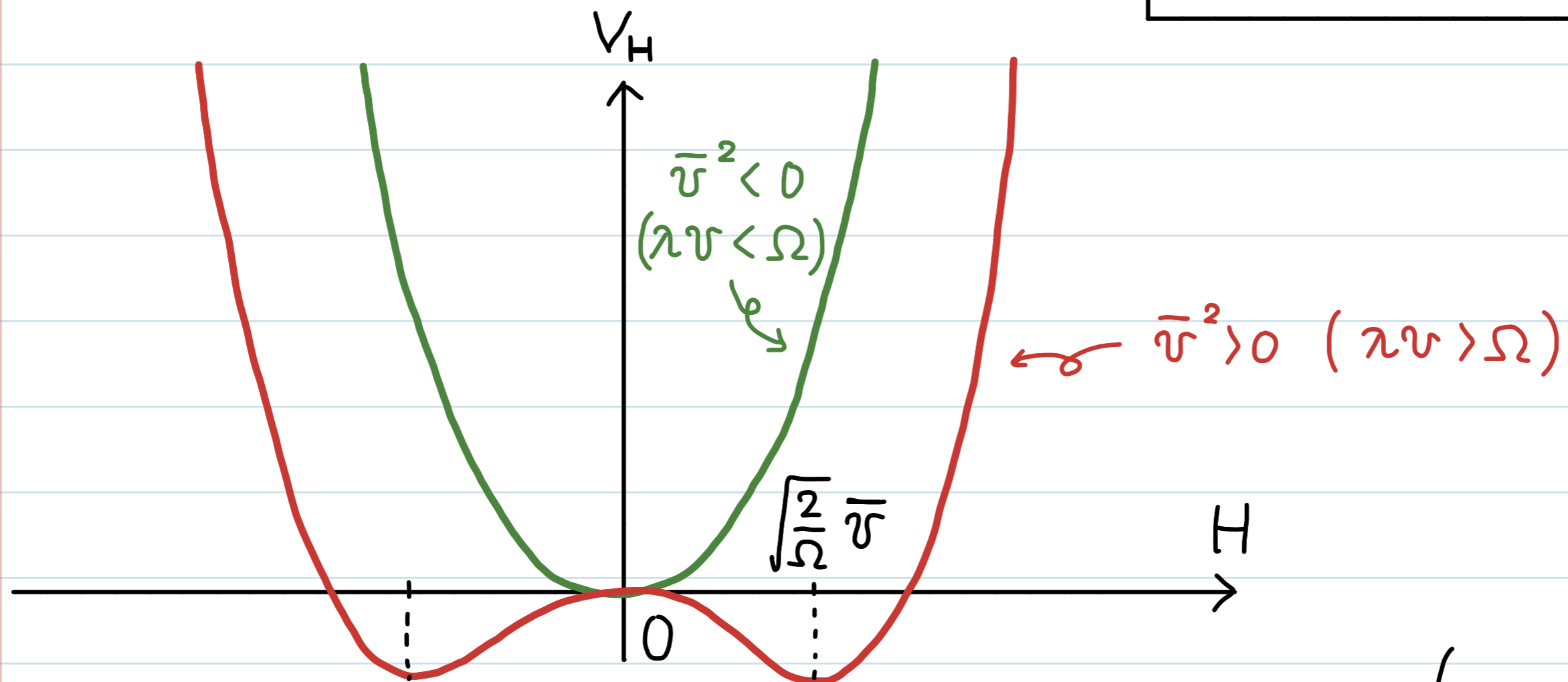
$$\begin{aligned} \lambda_2^2 &\equiv -\frac{4\lambda^2 \bar{v}^2}{3} \\ \lambda_4^2 &\equiv \frac{2\lambda^2 \Omega}{3} \end{aligned}$$

4D ヒッグスポテンシャルのパラメータ

$$V_H = \lambda_2^2 |H|^2 + \frac{\lambda_4^2}{2} |H|^4$$

$$\lambda_2^2 \equiv -\frac{4\lambda^2 \bar{v}^2}{3}$$

$$\lambda_4^2 \equiv \frac{2\lambda^2 \Omega}{3}$$



$$(H = \sqrt{\frac{2}{\Omega}} H \operatorname{sech} \Omega y)$$

$$\langle H \rangle = \frac{v_H}{\sqrt{2}} = \begin{cases} 0 & \dots & \bar{v}^2 \leq 0 & \Rightarrow H = 0 \\ \sqrt{\frac{2}{\Omega}} \bar{v} & \dots & \bar{v}^2 > 0 & \Rightarrow H = \bar{v} \operatorname{sech} \Omega y \end{cases}$$

バックグラウンドを再現

ゲージ場の局在とヒッグス機構

まず massless ゲージ場の局在について説明

→ ヒッグスの charge $q_H = 0$ (Arai - Blaschke - ME - Sakai)
PTEP (2018), no. 6, 063B02

物理的なスペクトルを特定するために R_ξ ゲージを取る

$$\mathcal{L}_{GF} = -\frac{2\beta^2}{\xi} f^2$$

$$f = \partial_\mu A^\mu + \frac{\xi}{\beta^2} \partial_y (\beta^2 A^y)$$

(A^μ, A^y)
ドメインウォール
背景でのゆらぎ

ξ : ゲージ固定パラメータ

ドメインウォール周りのゆらぎ (2次まで)

$$\mathcal{L}_A^{(2)} = \int_{-\infty}^{\infty} dy \left(\mathcal{L}_{5D} + \mathcal{L}_{GF} \right)_{\text{ドメインウォール背景}}$$

力)ニカルな±場 : $A_M \equiv \frac{A_M}{2\beta}$

$$\mathcal{L}_A^{(2)} = \int_{-\infty}^{\infty} dy \left\{ \frac{1}{2} A_\mu \left[\eta^{\mu\nu} \square - \left(1 - \frac{1}{\xi}\right) \partial^\mu \partial^\nu + \eta^{\mu\nu} D^\dagger D \right] A_\nu \right. \\ \left. - \frac{1}{2} A_y \left(\square + \xi D D^\dagger \right) A_y \right\}$$

$$D \equiv -\partial_y + \frac{\beta'}{\beta}, \quad D^\dagger \equiv \partial_y + \frac{\beta'}{\beta}$$

フェルミオンと同じように 超対称量子力学の構造が現れる!!

$$\bar{\Psi}_L \xleftrightarrow{Q, Q^\dagger} \bar{\Psi}_R \quad \left(Q = -\partial_y + \eta T = -\partial_y + \eta v \tanh \Omega y \right)$$

$$A_\mu \xleftrightarrow{D, D^\dagger} A_y \quad \left(D = -\partial_y + \frac{\beta'}{\beta} = -\partial_y + \Omega \tanh \Omega y \right)$$

$$A_\mu = \sum_n \Phi_n(y) A_\mu^{(n)}(x)$$

$$D^\dagger D \Phi_n(y) = m_{A,n}^2 \Phi_n(y) \rightarrow D \phi_0 = 0$$

↓

$$\phi_0 \propto \beta$$

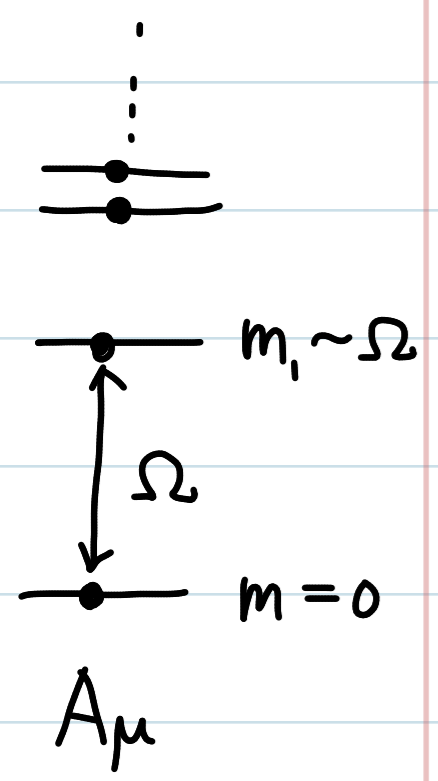
$$A_y = \sum_n \bar{\Phi}_n(y) A_y^{(n)}$$

$$D D^\dagger \bar{\Phi}_n(y) = m_{A,n}^2 \bar{\Phi}_n(y) \rightarrow D^\dagger \bar{\phi}_0 = 0$$

↓

$$\bar{\phi}_0 \propto \beta^{-1}$$

$$\beta^2 = \frac{|\mathcal{H}|^2}{4\mu^2} = \frac{\bar{v}^2}{4\mu^2} \text{sech}^2(y-Y)$$



- {
- $A_\mu^{(0)}$: 物理的な 0 モード を持つ
 - $A_y^{(0)}$: 規格化不可能なので非物理的

4次元ゲージ場 (ゼロモード) の波動関数

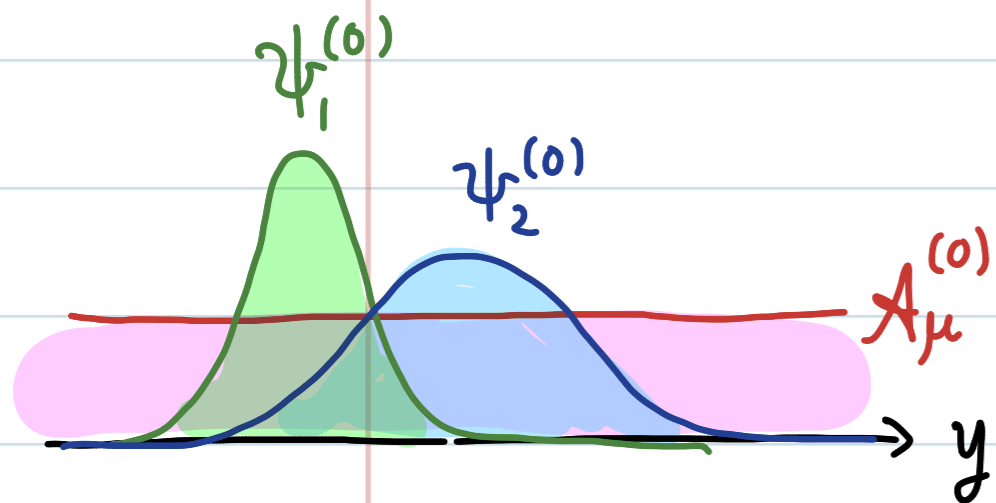
$$A_\mu(x, y) = \frac{A_\mu}{2\beta} = \frac{1}{2\beta} \phi_0(y) A_\mu^{(0)}(x) + \dots$$

ここで

$$\begin{cases} \beta = \frac{\mathcal{H}}{2\mu} = \frac{\bar{v}}{2\mu} \operatorname{sech} \Omega y \\ \phi_0 = \sqrt{\frac{\Omega}{2}} \operatorname{sech} \Omega y \end{cases} \quad \text{だから}$$

$$\therefore A_\mu = \underbrace{\frac{\mu}{\bar{v}} \sqrt{\frac{\Omega}{2}}}_{\text{定数}} A_\mu^{(0)}(x) + \dots$$

定数 : y に依存しない !!



全ての場にとって平等 !! \Rightarrow ゲージチャージのユニバーシティ
(overlap 積分)

ヒッグス場のチャージを $q_H = 0 \rightarrow q_H \neq 0$ に戻す.

$$q_H = 0 : \left(\eta^{\mu\nu} \square - \left(1 - \frac{1}{3}\right) \partial^\mu \partial^\nu + \eta^{\mu\nu} D^\dagger D \right) A_\nu = 0$$

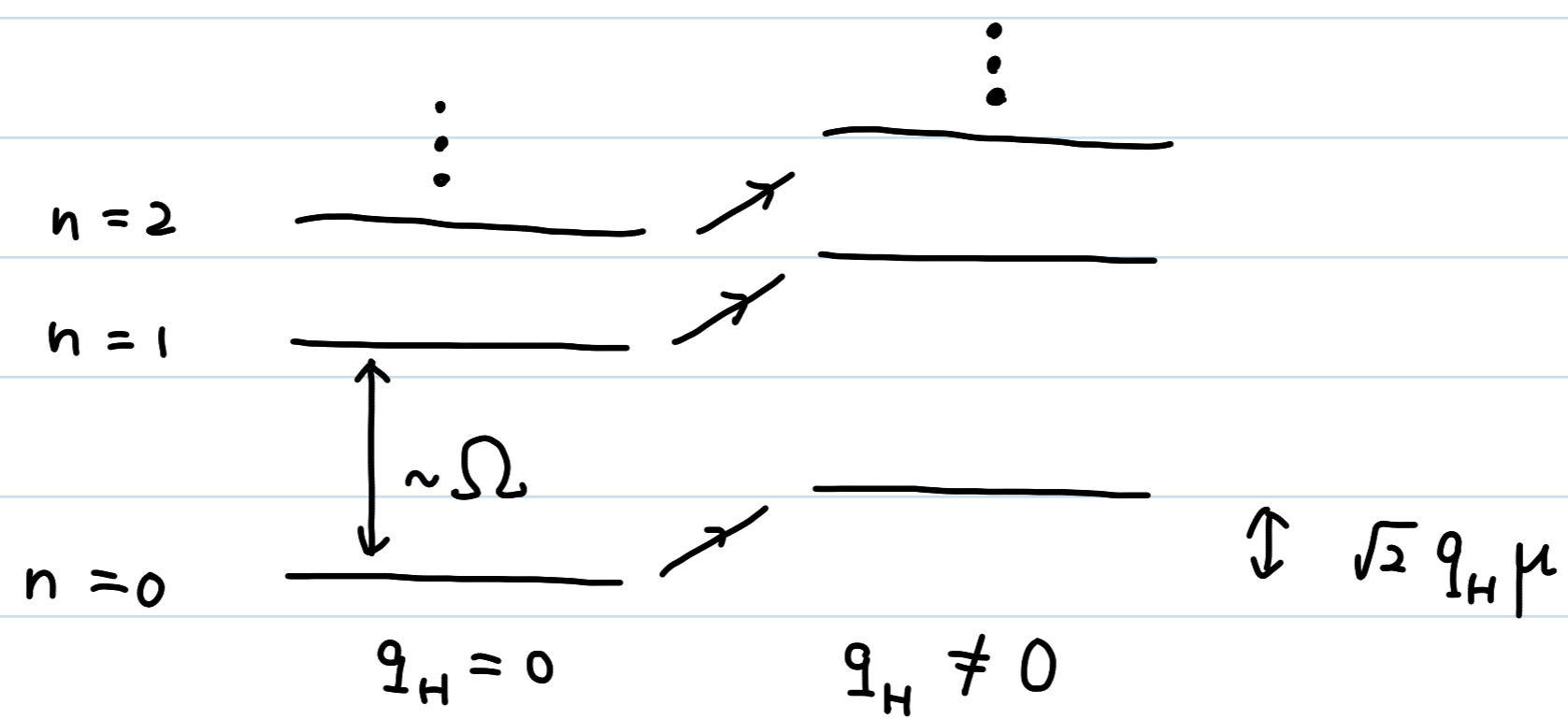


$$D^\dagger D \phi_n = m_{A,n}^2 \phi_n$$

$$q_H \neq 0 : \left(\eta^{\mu\nu} \square - \left(1 - \frac{1}{3}\right) \partial^\mu \partial^\nu + \eta^{\mu\nu} \left(D^\dagger D + \underbrace{2q_H^2 \mu^2} \right) \right) A_\nu = 0$$

正定数だけリスト

$$\left(D^\dagger D + \underbrace{2q_H^2 \mu^2} \right) \phi_n = \left(m_{A,n}^2 + \underbrace{2q_H^2 \mu^2} \right) \phi_n$$



ヒッグス機構が
0モード + KK
で正しく働いている

フェルミオン セクタ → 有効ゲージ結合定数

$$i \Gamma^M D_M \bar{\Psi} + \eta T \bar{\Psi} \Psi = 0$$

$$\Leftrightarrow \begin{cases} (\square + Q^\dagger Q) \bar{\Psi}_L = 0 \\ (\square + Q Q^\dagger) \bar{\Psi}_R = 0 \end{cases} \quad (Q = -\partial_y + \eta T)$$

ゼロモード : $\bar{\Psi}_L = \underbrace{f_{L,0}(y)}_{\substack{\text{規格化された} \\ \text{波動関数}}} \bar{\psi}_L^{(0)}(x) + \dots$

$$\begin{aligned} \therefore \int_{-\infty}^{\infty} dy & \left(i \bar{\Psi} \Gamma^M D_M \bar{\Psi} + \eta T \bar{\Psi} \Psi \right) \\ & \supset \int_{-\infty}^{\infty} dy \ i (f_{L,0} \bar{\psi}_L^{(0)}) \gamma^\mu \left(\partial_\mu + i g_f \frac{\mu}{v} \sqrt{\frac{\Omega}{2}} A_\mu^{(0)} \right) (f_{L,0} \psi_L^{(0)}) \\ & = i \bar{\psi}_L^{(0)} \gamma^\mu \left(\partial_\mu + i g_f e A_\mu^{(0)} \right) \psi_L^{(0)} \end{aligned}$$

$$e \equiv \frac{\mu \sqrt{\Omega}}{v \sqrt{2}}$$

定数

フェルミオンセクタ \rightarrow 有効湯川結合定数

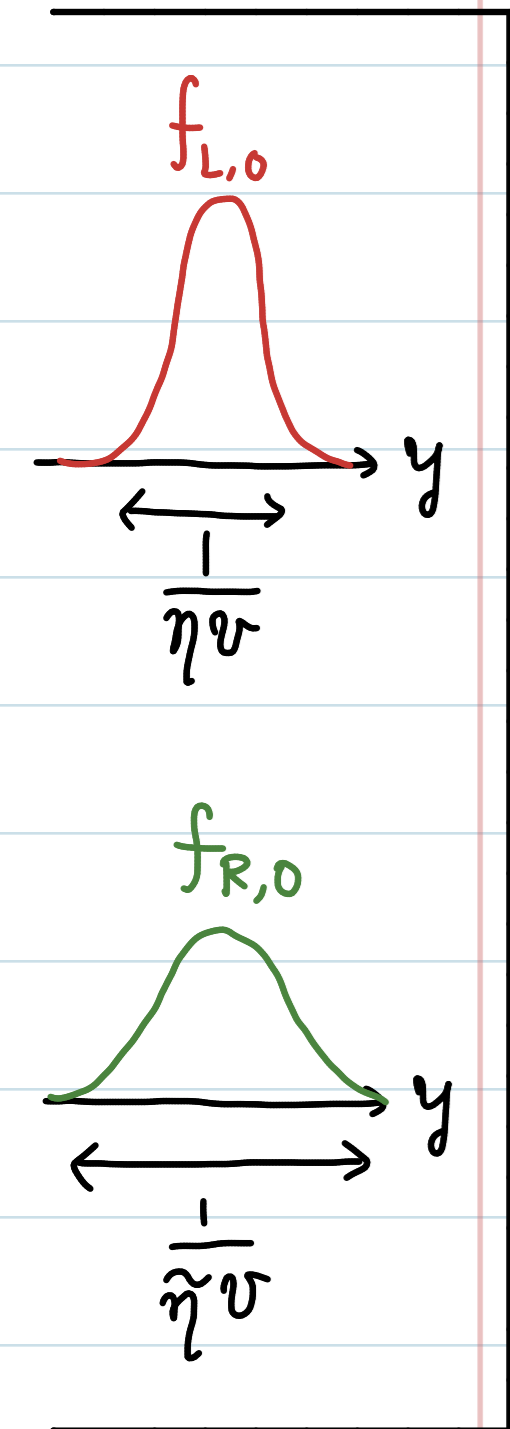
$$\mathcal{L}_{5D} = i \bar{\Psi} \Gamma^M D_M \Psi + \eta \tau \bar{\Psi} \Psi + i \tilde{\Psi} \Gamma^M \partial_M \tilde{\Psi} - \tilde{\eta} \tau \tilde{\Psi} \tilde{\Psi} + \chi \mathcal{H} \bar{\Psi} \tilde{\Psi} + \text{h.c.}$$

$$\eta, \tilde{\eta} > 0 \rightarrow \begin{cases} \bar{\Psi} = f_{L,0} \bar{\Psi}_L^{(0)} + \dots & f_{L,0} \propto (\text{sech } \Omega y)^{\frac{\eta v}{\Omega}} \\ \tilde{\Psi} = \tilde{f}_{R,0} \tilde{\Psi}_R^{(0)} + \dots & \tilde{f}_{R,0} \propto (\text{sech } \Omega y)^{\frac{\tilde{\eta} v}{\Omega}} \end{cases}$$

$$\begin{aligned} \mathcal{L}_{\text{Yukawa}} &= \int_{-\infty}^{\infty} dy \chi (\bar{v} \text{sech } \Omega y) f_{L,0} \tilde{f}_{R,0} \bar{\Psi}_L^{(0)} \tilde{\Psi}_R^{(0)} + \text{h.c.} \\ &= \chi \bar{v} \tau \left(\frac{\eta v}{\Omega}, \frac{\tilde{\eta} v}{\Omega} \right) \bar{\Psi}_L^{(0)} \tilde{\Psi}_R^{(0)} + \text{h.c.} \\ &= v_H \chi_4 \bar{\Psi}_L^{(0)} \tilde{\Psi}_R^{(0)} + \text{h.c.} \end{aligned}$$

有効湯川結合: $\chi_4 \equiv \frac{\chi \bar{v} \tau \left(\frac{\eta v}{\Omega}, \frac{\tilde{\eta} v}{\Omega} \right)}{v_H} \sim \chi \sqrt{\Omega}$

$$\left(\tau(a, b) \equiv \frac{\Gamma\left(\frac{1+a+b}{2}\right)}{\Gamma\left(\frac{2+a+b}{2}\right)} \frac{\Gamma\left(a+\frac{1}{2}\right) \Gamma\left(b+\frac{1}{2}\right)}{\Gamma(a) \Gamma(b)} \sim \mathcal{O}(1) \right)$$



以上より, 4D 有効理論の材料が集った.

* ドメインウォール + ヒッグス凝縮 $\rightarrow \lambda v > \Omega$

* 5D 基本スケール $\Omega \gg E_{EW}$

* 4D physical $10^3 \text{ x } \dots$

dimension full

$$\left\{ \begin{array}{l} \langle H \rangle^2 = \frac{v_H^2}{2} = \frac{2\bar{v}^2}{\Omega} \\ m_{H,0}^2 = \frac{8}{3} \lambda^2 \bar{v}^2 \\ m_{A,0}^2 = 2 g_H^2 \mu^2 = (g_H e)^2 v_H^2 \end{array} \right.$$

$$\left(\bar{v} = \sqrt{v^2 - \frac{\Omega^2}{\lambda^2}} \right)$$

dimension less

$$\left\{ \begin{array}{l} e = \frac{\mu \sqrt{\Omega}}{\sqrt{2} \bar{v}} \\ \chi_4 \sim \chi \sqrt{\Omega} \end{array} \right.$$

4D Higgs 機構
Σの??

5D パラメータ (ボゾン): λ, v, μ, Ω (4つ)



$\langle H \rangle, m_H, m_A$ を実験値に合わせる
EW スケール ($\sim 10^2$ GeV)

Ω はフリーパラメータとして残る。

↳ mass gap: $m_{KK} \sim \Omega \sim 10^{2+a}$ GeV

具体的には $\Omega \sim 10^{2+a}$ GeV とするとき

$$v \sim 10^{3+\frac{3}{2}a} (\text{GeV})^{\frac{3}{2}}, \quad \lambda \sim 10^{-1-\frac{a}{2}} (\text{GeV})^{-\frac{1}{2}}, \quad \mu \sim 10^2 \text{ GeV}$$

$$\Leftrightarrow v^{\frac{2}{3}} \sim 10^{2+a} \text{ GeV}, \quad \lambda^{-2} \sim 10^{2+a} \text{ GeV}, \quad \mu \sim 10^2 \text{ GeV}$$

mass: $R\pi$ 1

5DでEWを入れておく必要有り

5. 標準模型 on ドメインウォール

$$\mathcal{L}_{\text{gauge}} = -\beta(\mathcal{H})^2 \left\{ (G_{MN}^a)^2 + (W_{MN}^i)^2 + (B_{MN})^2 \right\}$$

$$\mathcal{L}_{\text{scalar}} = |D_M \mathcal{H}|^2 + (\partial_M \mathcal{T})^2 - V(\mathcal{H}, \mathcal{T})$$

\uparrow Higgs doublet \uparrow singlet real scalar

$$V = \Omega^2 \mathcal{H}^\dagger \mathcal{H} + \lambda^2 (\mathcal{H}^\dagger \mathcal{H} + \mathcal{T}^2 - v^2)^2$$

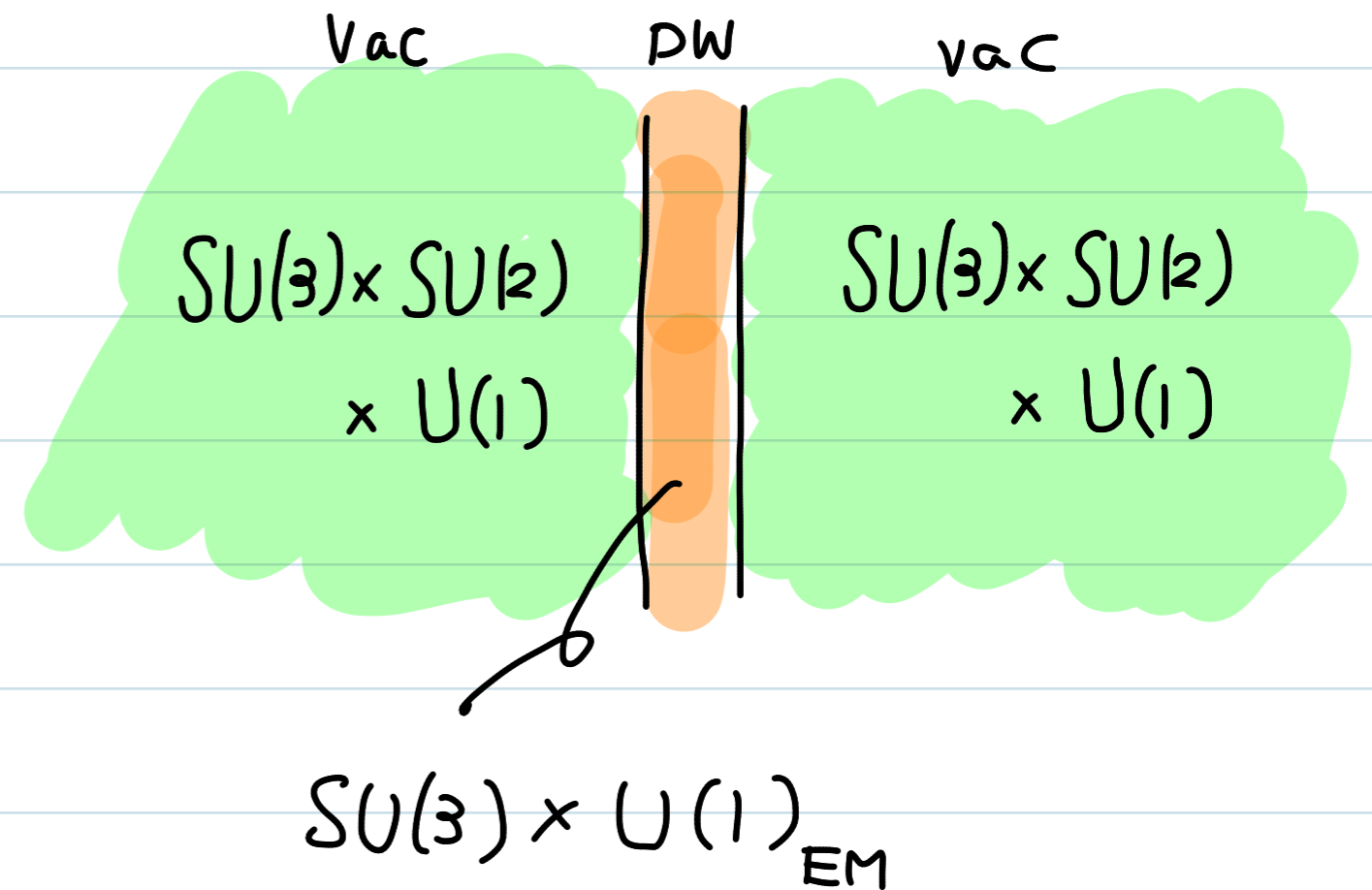
$$\begin{aligned} \mathcal{L}_{\text{quark}} = & i \bar{U}_L \Gamma^M D_M U_L + i \bar{U}_R \Gamma^M D_M U_R + i \bar{D}_R \Gamma^M D_M D_R \\ & + \eta (\mathcal{T} - m) \bar{U}_L U_L - \tilde{\eta} (\mathcal{T} - \tilde{m}) \bar{U}_R U_R - \tilde{\eta}' (\mathcal{T} - \tilde{m}') \bar{D}_R D_R \\ & + \chi \hat{H} \bar{U}_L U_R + \tilde{\chi} H \bar{U}_L D_R \end{aligned}$$

$$\begin{aligned} \mathcal{L}_{\text{lepton}} = & i \bar{L} \Gamma^M D_M L + i \bar{E}_R \Gamma^M D_M E_R + \xi (\mathcal{T} - \mu) \bar{L} L \\ & - \tilde{\xi} (\mathcal{T} - \tilde{\mu}) \bar{E}_R E_R + \sigma \zeta H \bar{L} E_R \end{aligned}$$

Abelian Toy 模型と基本は同じ

$$T = v \tanh \Omega y$$

$$H = \begin{pmatrix} 0 \\ \bar{v} \operatorname{sech} \Omega y \end{pmatrix}$$



ドメインウォール内のゲージ場

photon ... massless

gluon ... massless (classical)

W, Z ... massive ← 局所的ヒッグス機構

重い KK モード ($\sim \Omega$) を除けば、^① ^② ほぼ標準模型

6. ドメインウォールの痕跡

① NG (並行移動の自発的破れ)

② $\hbar \rightarrow \gamma\gamma$ @ tree level

③ finite EW monopole

① NG (並行移動の自発的破れ)

$$T = v \tanh\left(\Omega y - \frac{1}{f_Y} Y\right)$$

$$H = \bar{v} \operatorname{sech}\left(\Omega y - \frac{1}{f_Y} Y\right)$$

↑
解のフリーパラメータ: モジュライ

NG: $Y \rightarrow Y(x)$ (モジュライ近似)

$$\mathcal{L}_{\text{NG}} = \int_{-\infty}^{\infty} dy \mathcal{L}_{5\text{D}} \Big|_{Y \rightarrow Y(x)}$$

$$\xrightarrow{\text{heavy KK を無視}} \frac{1}{2} \partial_{\mu} Y \partial^{\mu} Y \left(1 + \frac{\Omega}{2v^2} H(x)^2 \right)$$

- ① スカラー-セクターのみ考慮
- ② 微分を必ず含む (低エネルギー-定理)
- ③ $\Omega/v^2 \sim \Omega^{-2} \sim (10^{2+a} \text{ GeV})^{-2}$ 抑制

ゲージセクター :

$$-\frac{1}{4} \int_{-\infty}^{\infty} dy \phi_0 \left(y - \frac{1}{f_Y} Y(x) \right)^2 F_{\mu\nu}^{(0)2} = -\frac{1}{4} (F_{\mu\nu}^{(0)})^2$$

フェルミオンセクター :

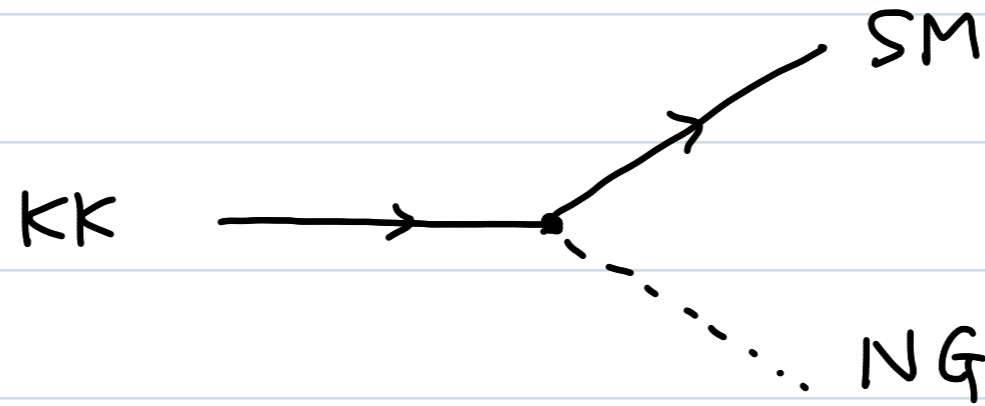
$$\int_{-\infty}^{\infty} dy i \left(f_{L,0} \left(y - \frac{Y(x)}{f_Y} \right) \bar{\psi}_{L,0}^{(0)}(x) \right) \gamma^{\mu} \partial_{\mu} \left(f_{L,0} \left(y - \frac{Y(x)}{f_Y} \right) \psi_{L,0}^{(0)}(x) \right)$$

$$= i \bar{\psi}_{L,0}(x) \gamma^{\mu} \partial_{\mu} \psi_{L,0}(x)$$

$$\left(z \equiv y - \frac{Y}{f_Y} \right) - \frac{i}{f_Y} \left(\int_{-\infty}^{\infty} dz \underset{\text{even}}{f_{L,0}} \underset{\text{odd}}{f'_{L,0}} \right) \partial_{\mu} Y \bar{\psi}_{L,0}^{(0)} \gamma^{\mu} \psi_{L,0}^{(0)} \leftarrow 0$$

KK τ - ν を取り入れると,

$$\mathcal{L}_{NG+KK} \supset i\alpha \sqrt{\frac{\Omega}{v^2}} \partial_\mu Y \bar{\Psi}_L^{(1)} \gamma^\mu \Psi_L^{(0)} + \text{h.c.}$$

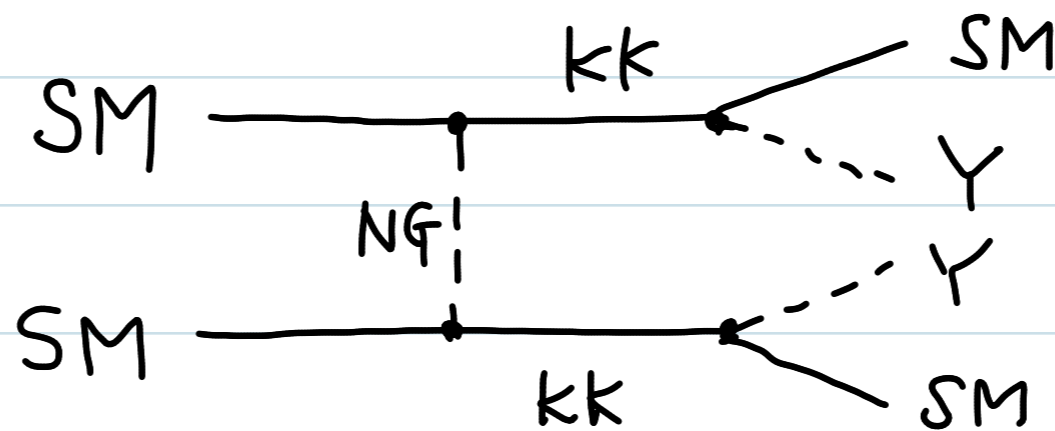


無次元量 $\alpha = \frac{\sqrt{3}}{4} \frac{b}{\sqrt{b-1}} \frac{B(b+\frac{1}{2}, b-\frac{1}{2})}{B(b+1, b-1)}, \quad b = \frac{\eta v}{\Omega}$

($O(1)$, $\alpha \ll 1$ を与えることが可能)

又, $\sqrt{\frac{\Omega}{v^2}} \partial_\mu \sim \frac{P_\mu}{\Omega} \sim \frac{P_\mu}{10^{2+a}}$ などのことは KK mass の抑制

missing energy



② $\tilde{h} \rightarrow \gamma\gamma$ @ tree level

$$H = \sqrt{\frac{\Omega}{2}} H(x) \operatorname{sech} \Omega y$$

$$\int_{-\infty}^{\infty} dy -\frac{|H|^2}{4\mu^2} (B_{MN})^2 = -\frac{1}{4} \frac{2}{v_H^2} \underbrace{H(x)^2}_{\text{dim. 6 operator}} (B_{\mu\nu}^{(0)})^2$$

$$H = \frac{v_H}{\sqrt{2}} + \phi$$

$$= -\frac{1}{4} \left(1 + 2\sqrt{2} \frac{\phi}{v_H} + 2 \frac{\phi^2}{v_H^2} \right) (B_{\mu\nu}^{(0)})^2$$

Triple gauge-Higgs coupling: $-\frac{1}{\sqrt{2}} \frac{\phi}{v_H} (B_{\mu\nu}^{(0)})^2$

↑
あまり大きいと LHC の J'' -夕に合わない。

New physics の 痕跡 としての dim. 6 operators

Ellis-Sanz-You (JHEP '15): $\frac{\phi}{v_H} (B_{\mu\nu})^2$ の係数 $\lesssim 10^{-3}$

too big
 $\left\{ \frac{1}{\sqrt{2}} \right\}$

Triple gauge - Higgs coupling を小さくするには?

$\beta(\mathcal{H})$ が '単項式' では無理

↓

多項式

例)
$$\beta(\mathcal{H}^2) = \frac{1}{4\mu^2} |\mathcal{H}|^2$$

modify ↓

$$\beta(\mathcal{H}^2) = \frac{1}{2\mu^2} \left(|\mathcal{H}^2|^2 - \frac{3}{4} \frac{|\mathcal{H}|^4}{v^2} \right)$$

$$- \int_{-\infty}^{\infty} dy \beta^2 (B_{MN})^2 \supset \left\{ -\frac{1}{4} + 0 \frac{\hbar}{v_R} + 2 \left(\frac{\hbar}{v_R} \right)^2 + \dots \right\} (B_{\mu\nu}^{(0)})^2$$

↑

0: 次のカイカル運動項はキ-フ。

厳密に 0 でなくても良い → $H \rightarrow \gamma\gamma$ に トXイシウオ-16 の痕跡

③ finite EW monopole

Cho - Maison EW monopole (Cho - Maison PLB '97)

球対称で磁荷 $\frac{4\pi}{e}$ を持つ EW 理論の 数値解

$$H = \frac{1}{\sqrt{2}} \rho(r) i \begin{pmatrix} \sin \frac{\theta}{2} e^{-i\varphi} \\ -\cos \frac{\theta}{2} \end{pmatrix}$$

(解の存在の証明)
Yang (Proc. Roy. Soc. '98)

$$W_i = \frac{1}{g} (f(r) - 1) \hat{r} \times \partial_i \hat{r}$$

Wu - Yang monopole

$$B_i = -\frac{1}{g'} \underbrace{(1 - \cos \theta)}_{\text{Dirac monopole}} \partial_i \varphi$$

特徴) 解の中核でシンギュラ → エネルギー = ∞

→ LHC 等でどのエネルギーレンジを狙うか不明

改良 by Cho - Kim - Yoon (Euro. Phys. J 2015)

$$\mathcal{L}_{EW} = |D_\mu H|^2 - V(H) - \frac{1}{4} \epsilon \left(\frac{H}{v_H} \right) (B_{\mu\nu})^2 - \frac{1}{4} (W_{\mu\nu}^a)^2$$

CKY monopole : $\epsilon = \left(\frac{H}{v_H} \right)^n \wedge n > 4 + 2\sqrt{3} \sim 6.4$

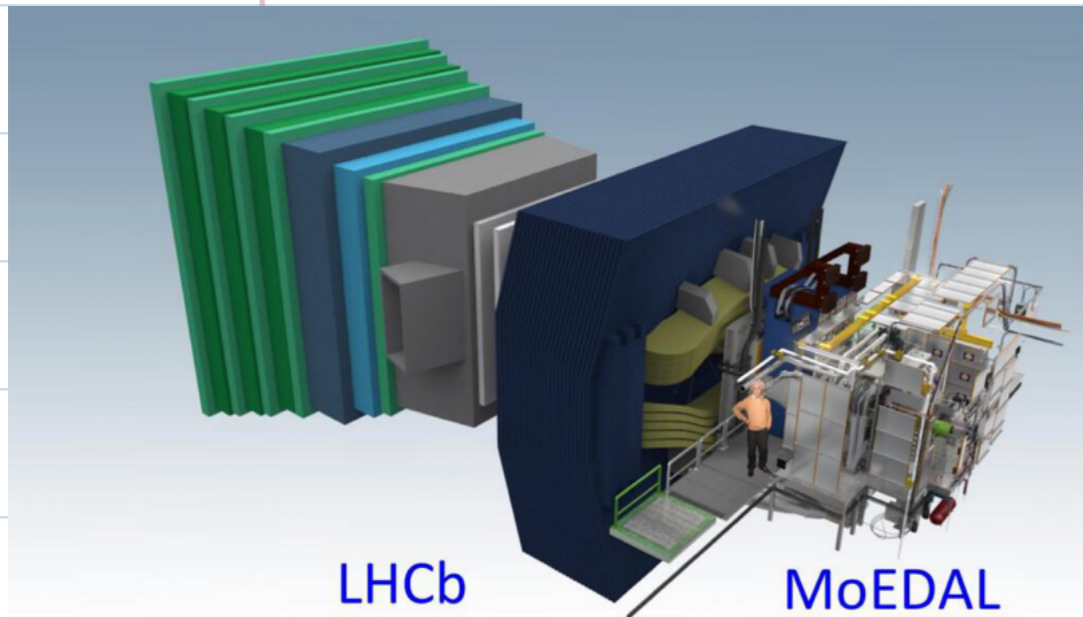
\Rightarrow EW monopole の シンギュラリティー が 解消

↓

EW monopole の エネルギー が 有限

$$M_{\text{monopole}} \sim 4 \text{ TeV}$$

searching



Monopole and Exotics Detector At LHC

since 2010

Ellis - Mavromatos - You (JHEP '16)

→ $\epsilon = \left(\frac{H}{v_H}\right)^n$ のような単項式は


LHC と 矛盾 .

改良

→ 例えは" $\epsilon = 5 \left(\frac{H}{v_H}\right)^8 - 4 \left(\frac{H}{v_H}\right)^{10}$

$\epsilon = 6 \left(\frac{H}{v_H}\right)^{10} - 5 \left(\frac{H}{v_H}\right)^{12}$

⋮

 LHC と 矛盾 せず, 質量が有限なモノポール解

$$M_{\text{monopole}} \lesssim 5.5 \text{ TeV}$$

Cho-Kim-Yoon }
 Ellis-Mavromatos-You }

どちらも $\in (\frac{H}{v_H})$ の起源は特定せず。

5D のドメインウォール による ブレーンワールド

ゲージ場の局在化

余分な場をなるべく入れずにミニマルに 5D Lagrangian を変更する

$$\rightarrow -\beta^2 F_{MN} F^{MN}$$

例えば,

$$\beta^2 = \frac{|\mathcal{H}|^2}{\mu^2} \left(10 \frac{|\mathcal{H}|^6}{v^6} - 9 \frac{|\mathcal{H}|^8}{v^8} \right)$$

$$\xrightarrow{DW} 5 \left(\frac{H}{v_H} \right)^8 - 4 \left(\frac{H}{v_H} \right)^{10} \quad \text{となり EMY を再現}$$

7. まとめ

ドメインウォールも利用して、ノンコンパクト 5次元中にダイナミカルにブレンワールドの構成を試みた。

* ~~\mathbb{Z}_2~~ → トポロジカルに安定なドメインウォール

→ $\left\{ \begin{array}{l} \text{カイラル フェルミオンの局在} \\ \text{ヒッグス 凝縮の誘発} \end{array} \right. \left\{ \begin{array}{l} \text{EW} \\ \text{フェルミオンの質量} \\ \text{SM ゲージ場の局在} \end{array} \right.$

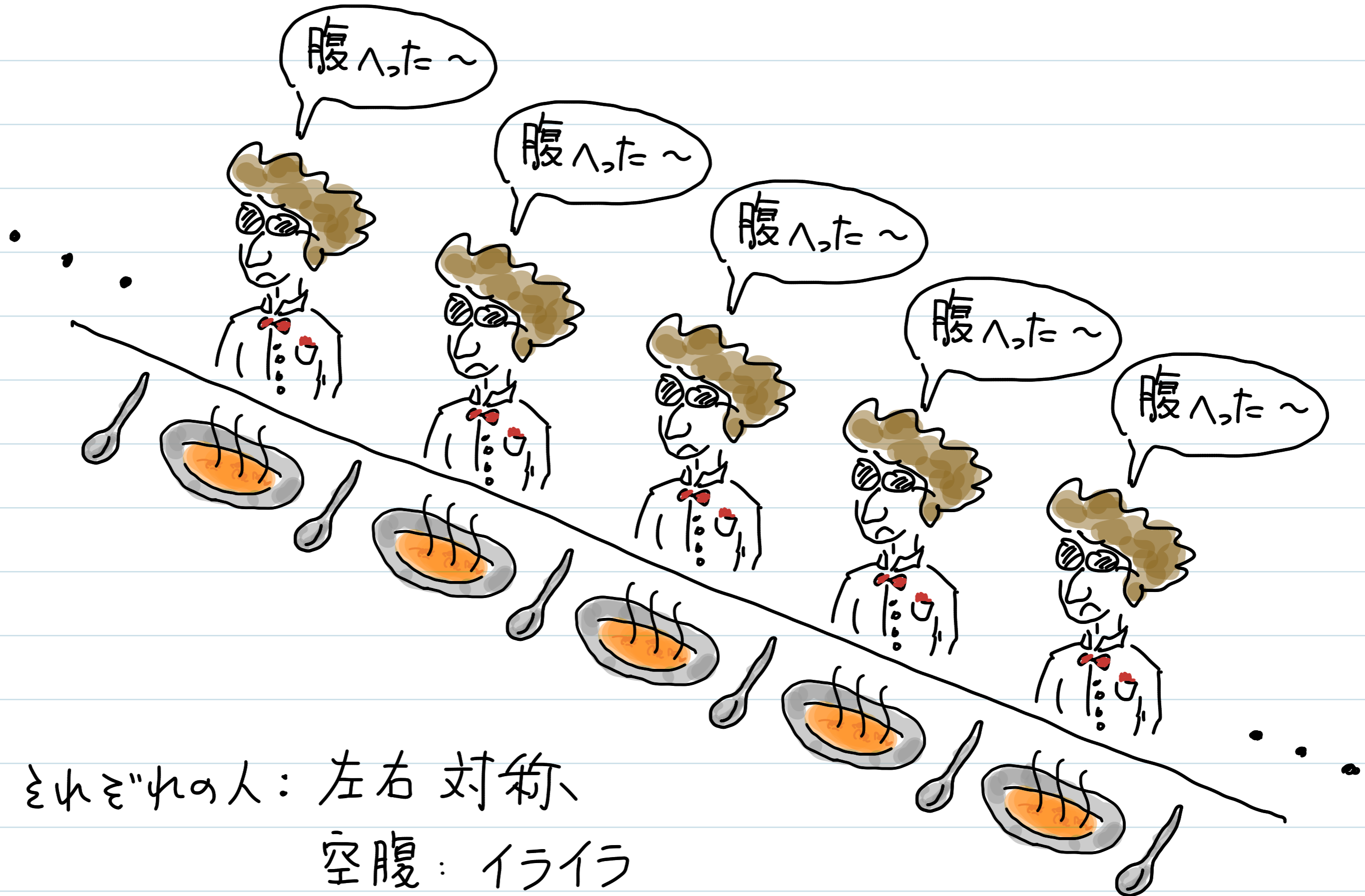
* SM と比較して ミニマルな拡張: 実スカラー場 χ のみ

* ドメインウォールの痕跡

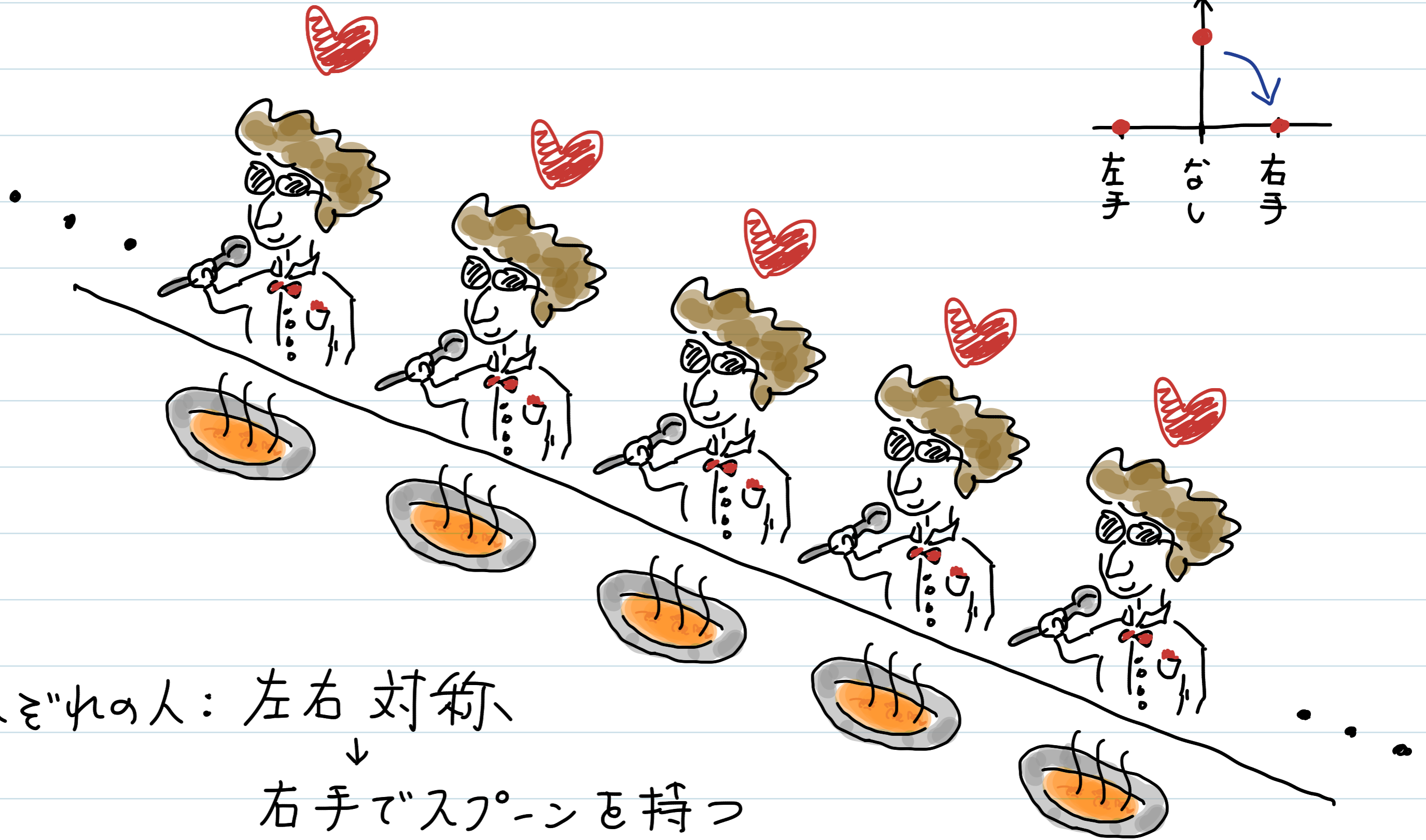
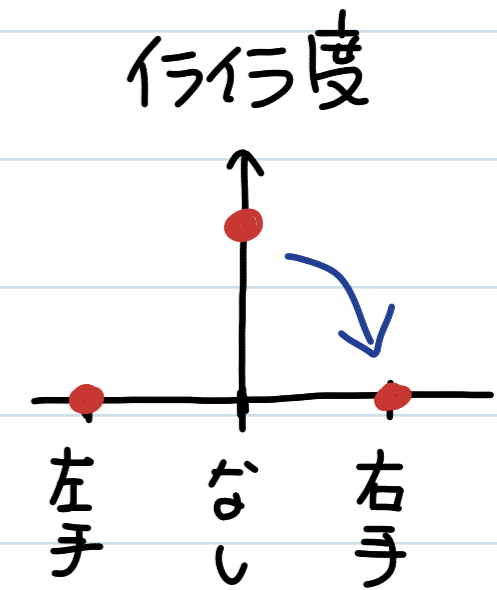
- ① translational NG $\psi^{(KK)} \rightarrow \psi^{(SM)} + Y$
- ② $H \rightarrow \gamma\gamma$
- ③ finite EW monopole

2. トポロジカルソリトン

対称性の自発的破れ



いただきます → ケース 1
真空

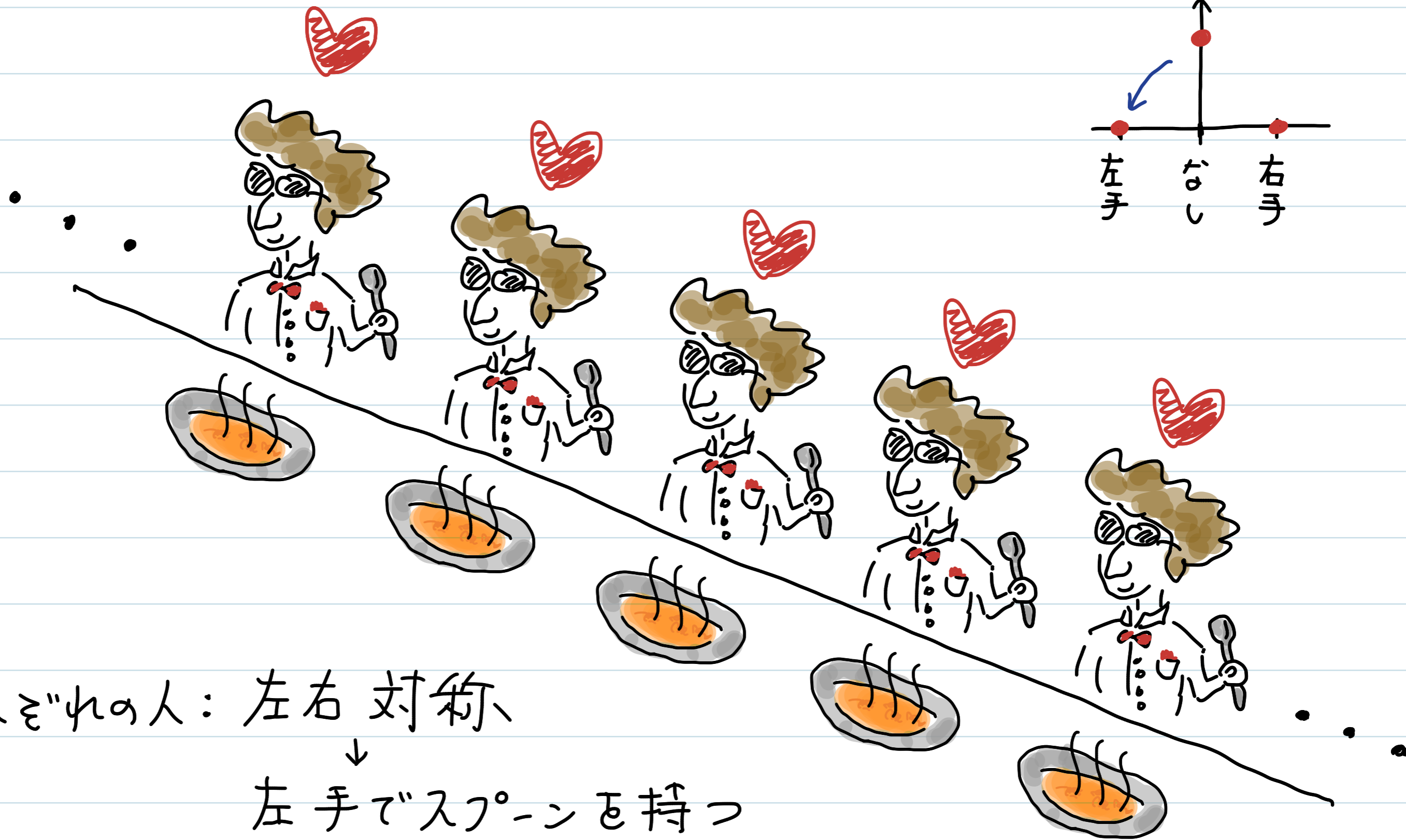


えいえい"れの人: 左右対称

↓
右手でスプーンを持つ

空腹 → 満足

いただきます → ケース2
真空

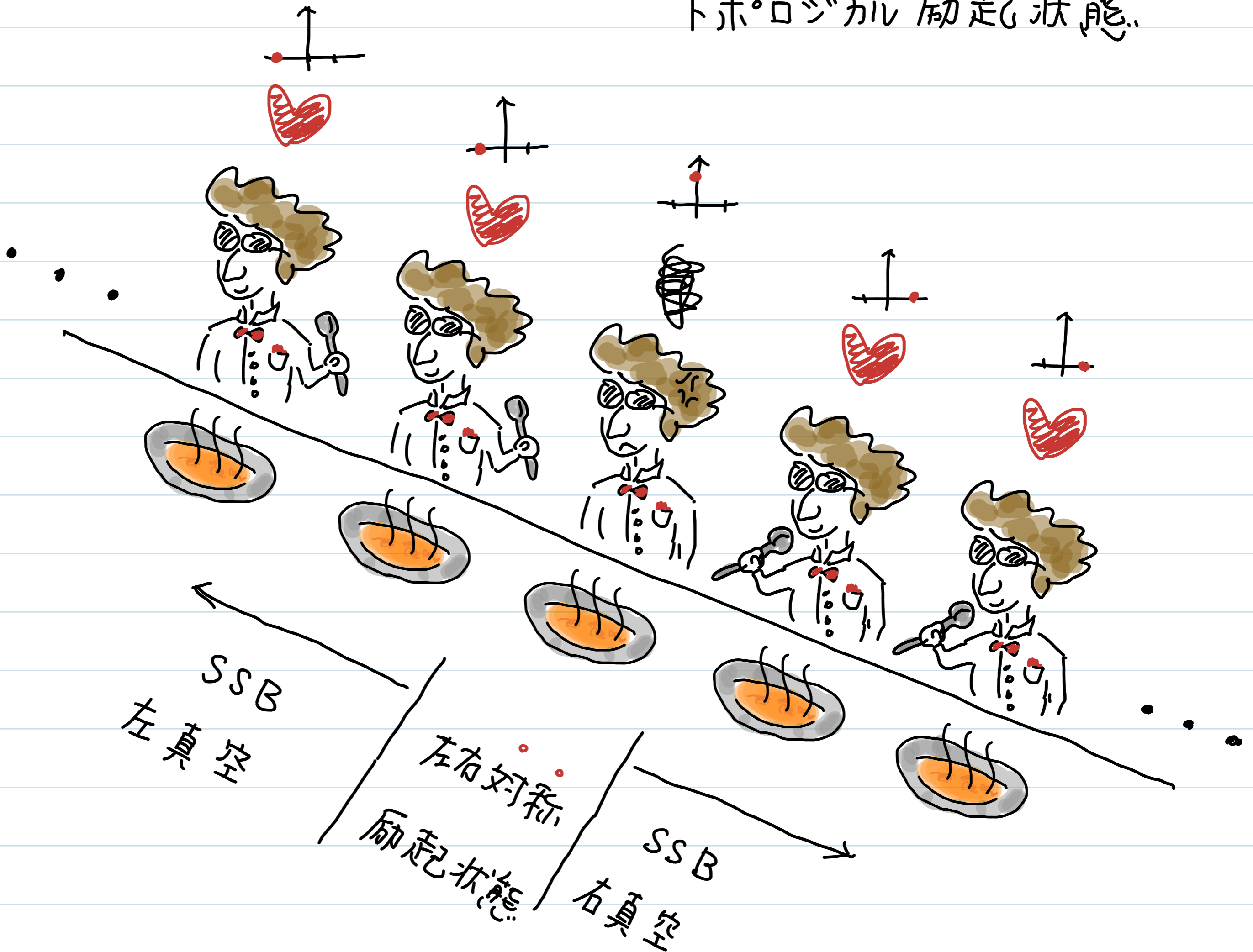


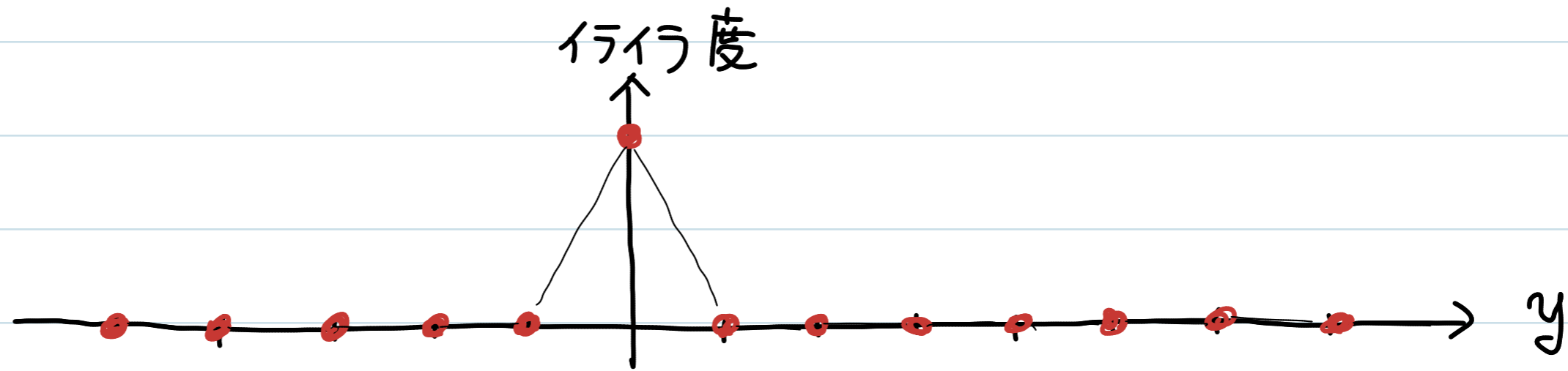
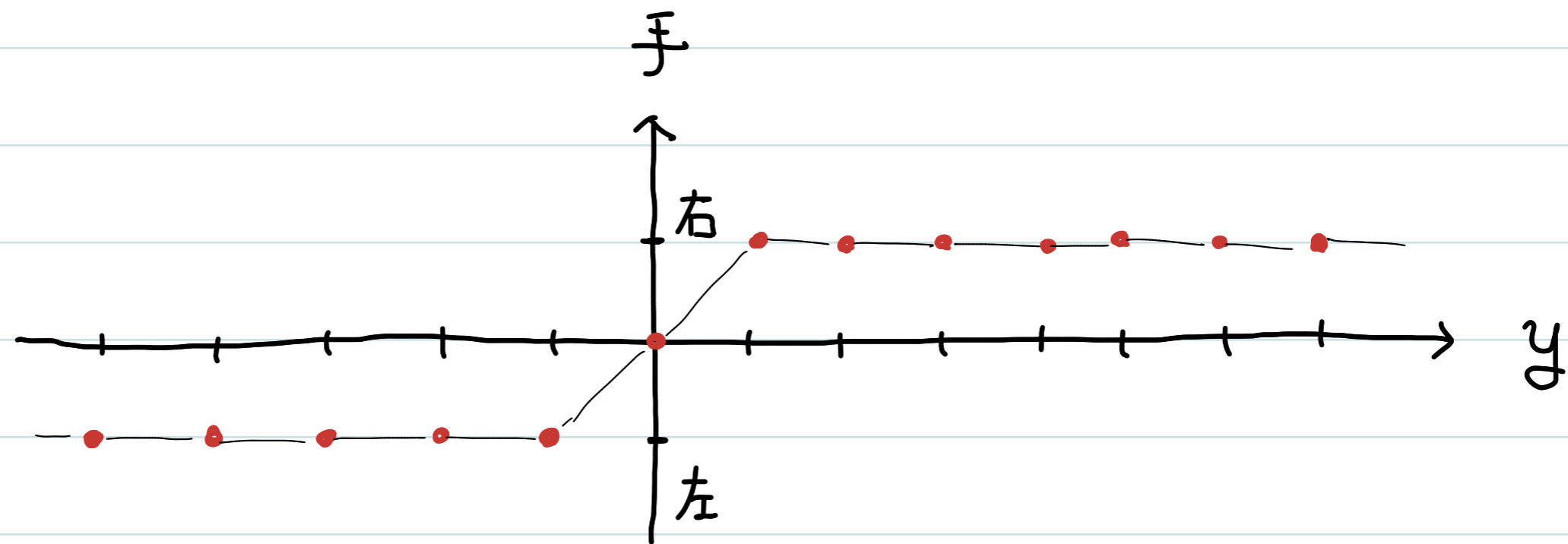
えいぞ"れの人: 左右対称
↓
左手でスプーンを持つ

空腹 → 満足

いまだ「きまーす」 → ケース3

トポロジカル励起状態





↑
 ◎ ◎
 安定な孤立したエネルギーの塊 = ソリトン

↑
 隣りの人のスプーンをうばう ⇒ イライラが隣にソフト
 解消しない

ソリトンの生成
安定性の要因 } \Leftarrow 真空のトポロジー

||

} 右, 左 } : 2点 (disconnected)

ホモトピー : $\pi_0(\text{真空}) \neq 1$

↑

$S^0 = 1\text{点}$ \longrightarrow 右
•
左
•

境界条件だけが本質 (トポロジー)

境界 $\left\{ \begin{array}{l} y = +\infty \\ y = -\infty \end{array} \right.$ \longrightarrow 真空 $\left\{ \begin{array}{l} \text{右} \\ \text{左} \end{array} \right.$

例) 非可換ボックスマン: $G = SU(N)$, $H = U(N)$, $\frac{G}{H} = \mathbb{C}P^{N-1}$

SQCD: Hanany-Tong ('03), Konishi et al ('03), Shifman-Yung ('03), (ME)-Isozumi-Nitta-Ohashi-Sakai ('04~)...

dense QCD: Nakano-Nitta-Matsuura ('08), ME-Nakano-Nitta ('09), ME-Nitta-Yamamoto ('10)...

2 Higgs doublet: ME-Kurachi-Nitta ('18), Chatterjee-Kurachi-Nitta ('18)